



# La datation $^{14}\text{C}$ , ses applications classiques et insolites

Lucile Beck et équipe LMC14

Laboratoire de Mesure du Carbone 14

CEA/CNRS/IRD/IRSN/MC-LSCE

CEA Saclay, Bâtiment 450, porte 4E

91191 Gif sur Yvette cedex

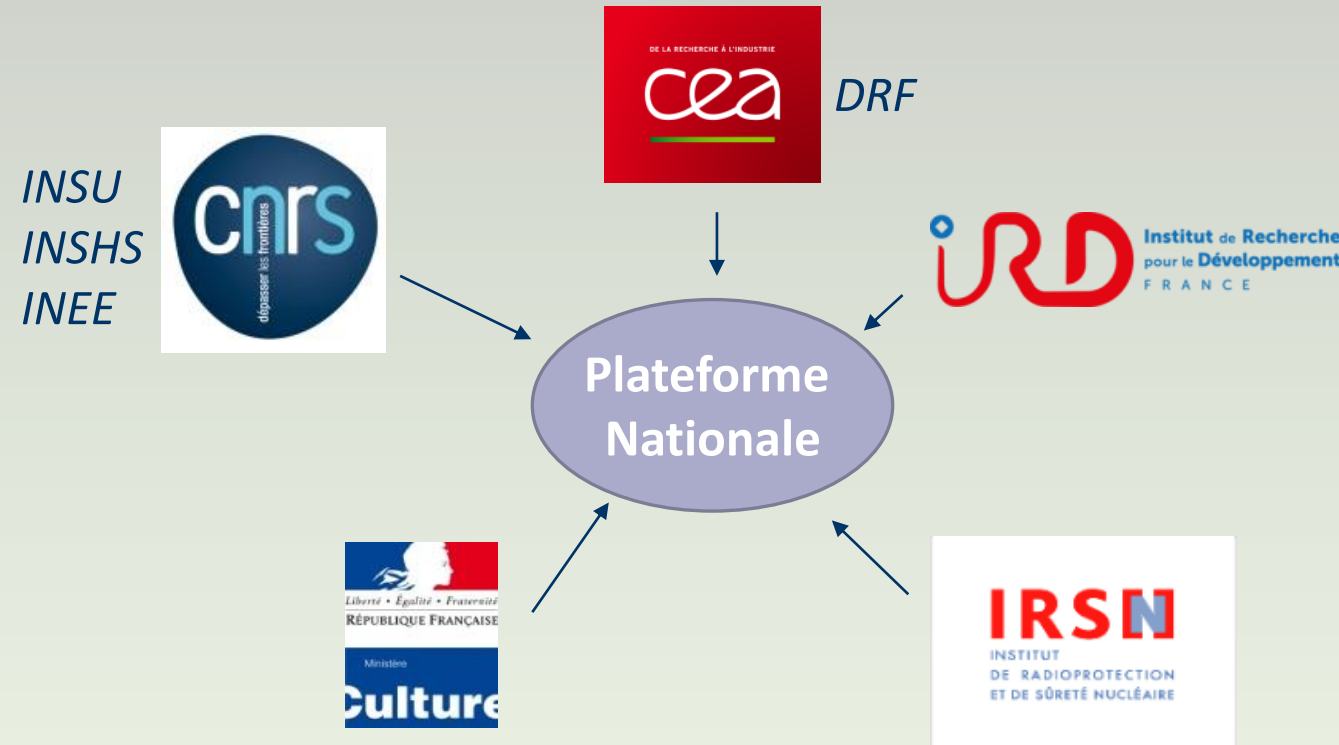
\*[lucile.beck@cea.fr](mailto:lucile.beck@cea.fr)





- Présentation générale du Laboratoire de mesure du carbone 14
- Principe de la méthode de datation par le  $^{14}\text{C}$
- SMA
- Quelques exemples

5 partenaires liés par une convention de partenariat depuis 2001 pour l'utilisation en commun du spectromètre de masse par accélérateur ARTEMIS - Plateforme Nationale LMC14



- Historiquement, unité mixte de service N° 2572 créée en 2003, intitulée « Laboratoire de Mesure du Carbone 14 ». Depuis 2015, **Plateforme Nationale LMC14** » rattachée au **LSCE** (Laboratoire des sciences du climat et de l'environnement)

## Service (80 %) : mesurer le carbone 14 de 4000 éch/an



National  
Lab



Musée d'Orsay



Centre  
national d'art et  
de culture



Musée  
Picasso



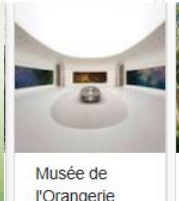
Musée  
national des art  
sasiatiques - Guimet

Musée  
de Cluny



Musée  
des arts et métiers

Musée  
de l'histoire de l'im  
meuble



Musée  
de l'Orangerie



Musée  
national Eugène  
Delacroix



Musée  
Gustave-Moreau



Musée  
national de la  
Renaissance

Lucile Beck-2023

## Recherche- (20 %) : 500 éch/an

- Environnement/Environment

Circulation des eaux dans les rivières et deltas:  
Water circulation in rivers

- Art et Archéologie/Art & archaeology

Grottes ornées/ Decorated caves  
Chronologie ancienne Égypte/ Ancient Egypt  
chronology

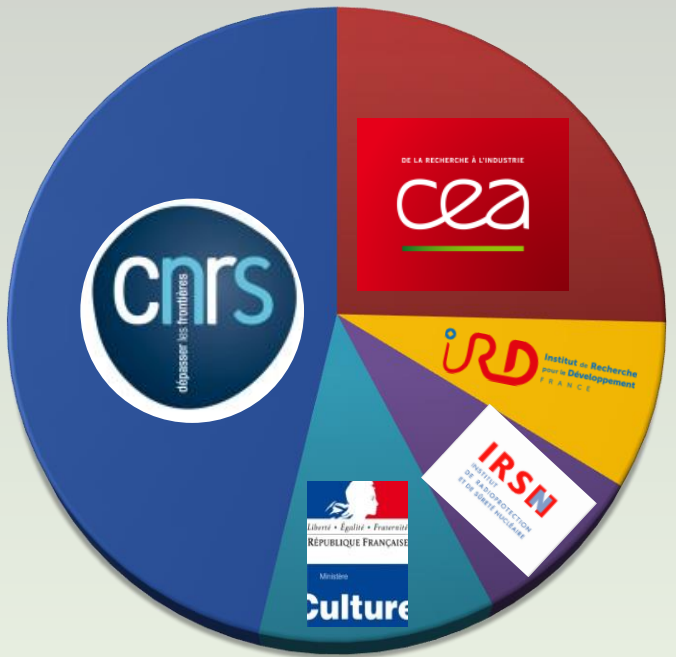
Fer des cathédrales (ND)/Iron in cathedrals  
Musées-restaurateurs/Museums-curators

- Développement analyt./ Analytical dev.

Nouveaux matériaux/new materials  
 $\mu$ -échantillons/ $\mu$ samples

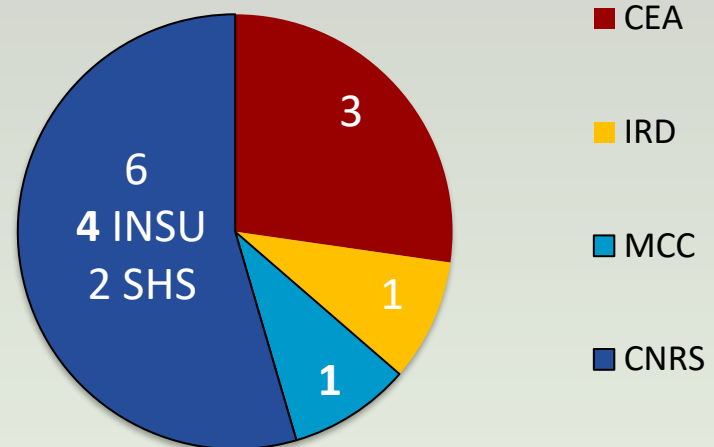


- 2800 échantillons par an pour 5 organismes → 4000-4500 mesures



70 000 échantillons mesurés depuis 2003 !

11 permanents

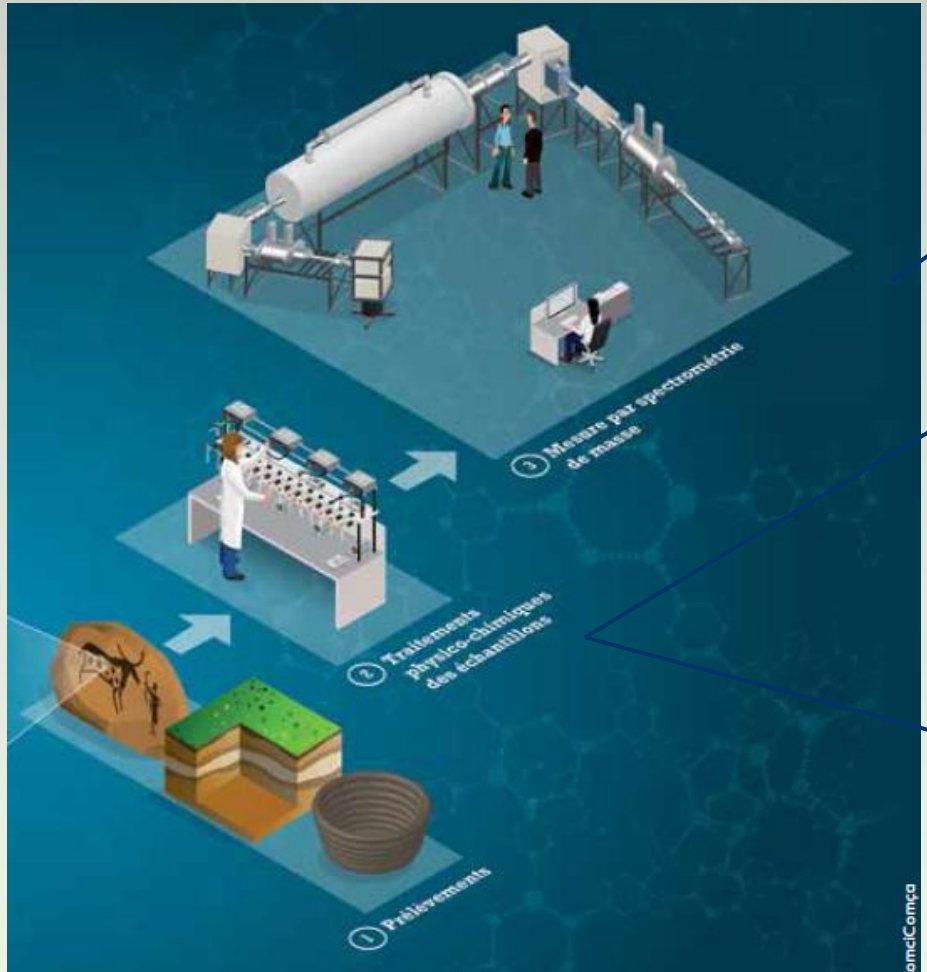


2/3 chimistes -1/3 mesures physiques

4 I-C

6 techniciens ou assistants-ingénieurs

1 gestionnaire

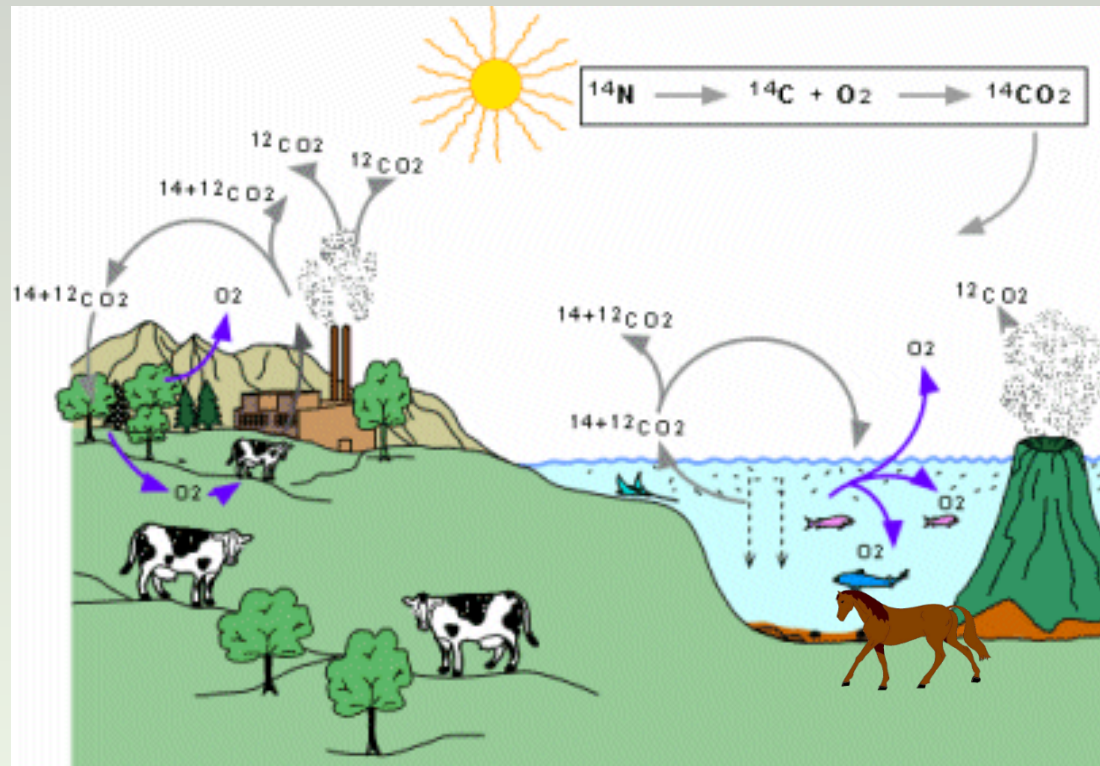


CEA Saclay

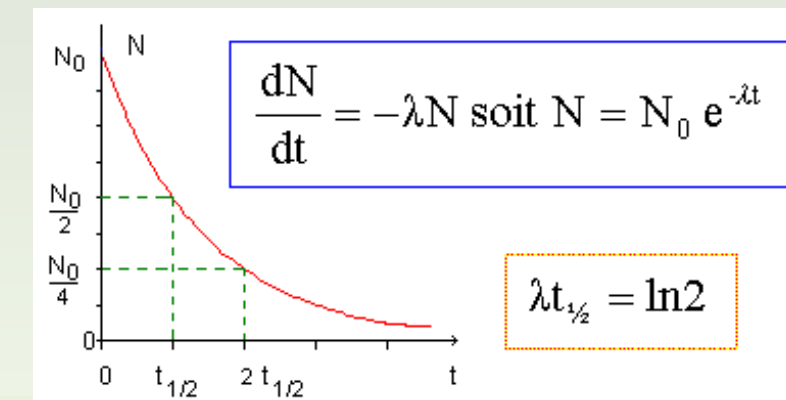
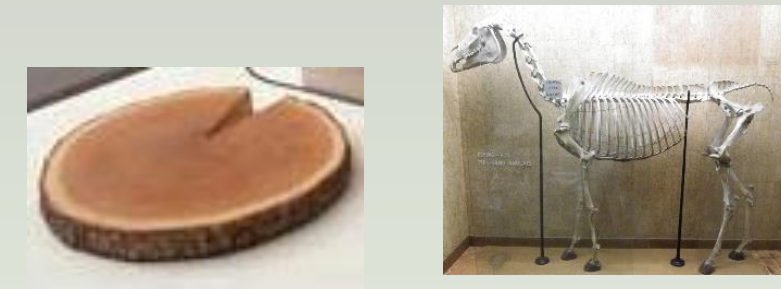


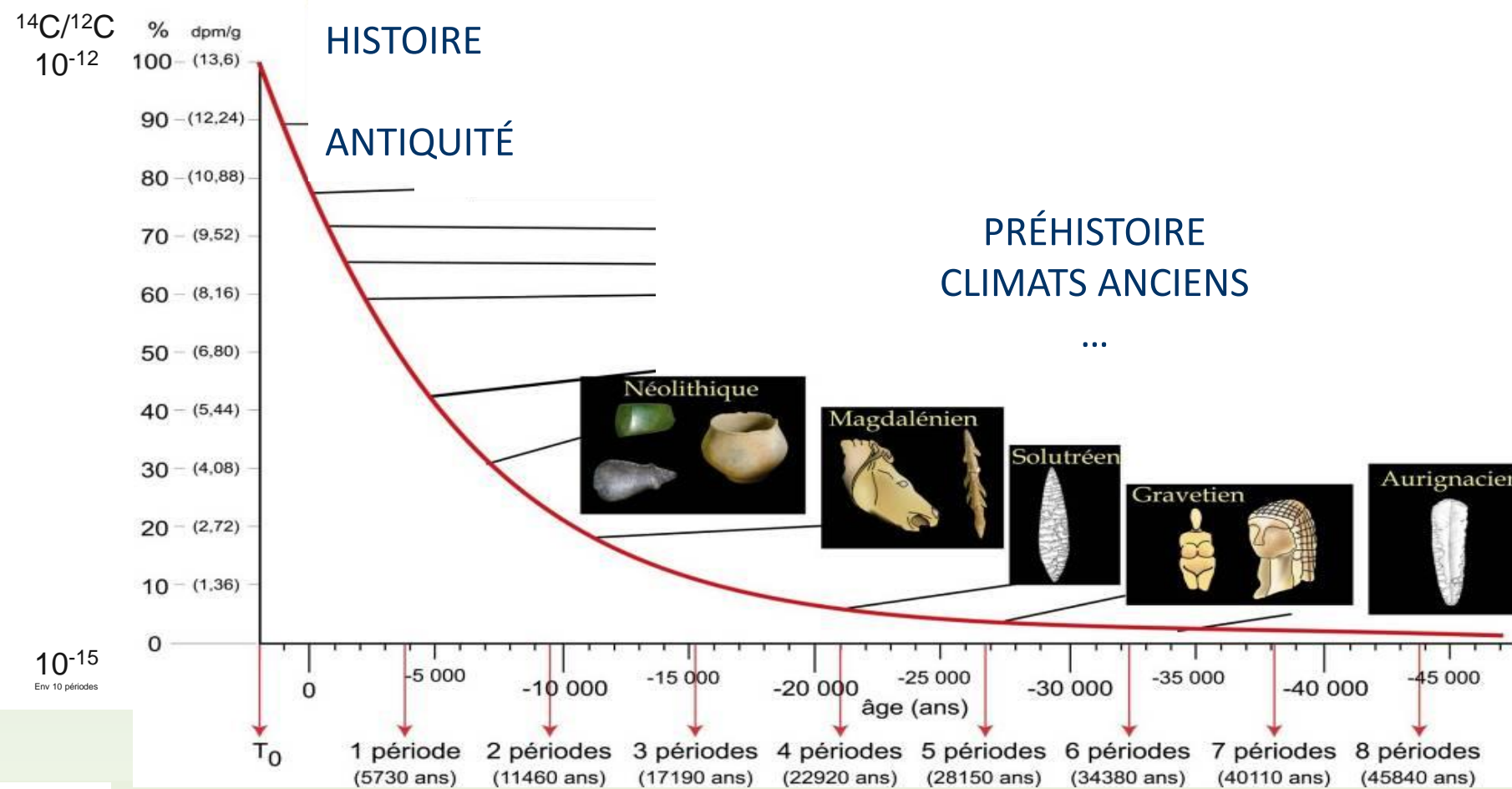
Tout organisme vivant intègre du carbone 14

A sa mort, le  $^{14}\text{C}$  décroît par désintégration radioactive



$$t_{1/2} = 5730 \text{ ans}$$





1946

Libby énonce les principes de la datation au  $^{14}\text{C}$

Prix Nobel de chimie en 1960



par spectrométrie de masse  
par accélérateur (SMA)

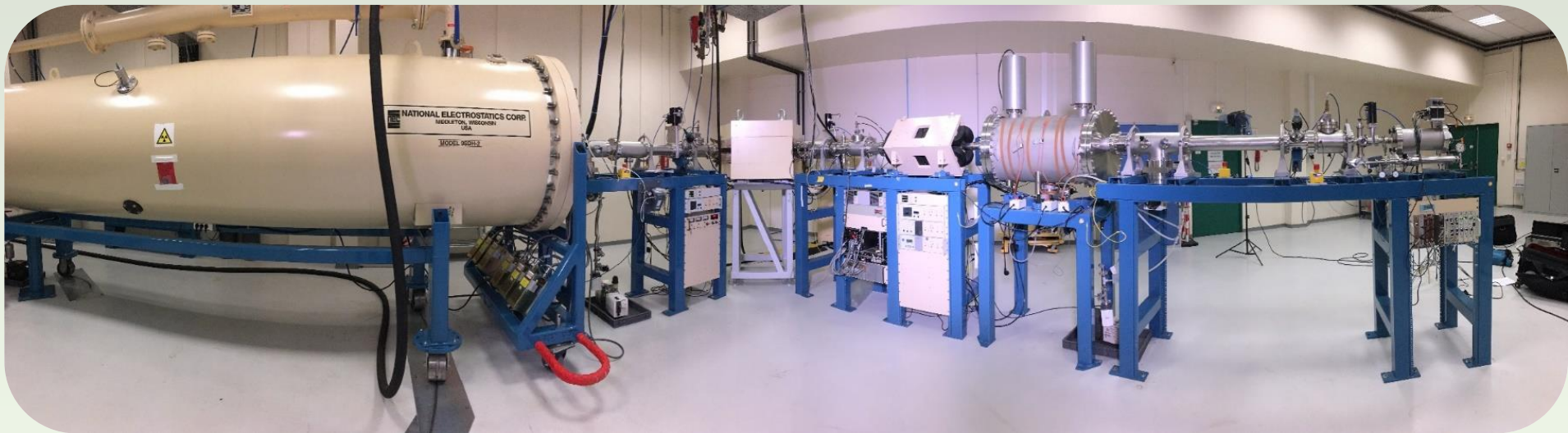


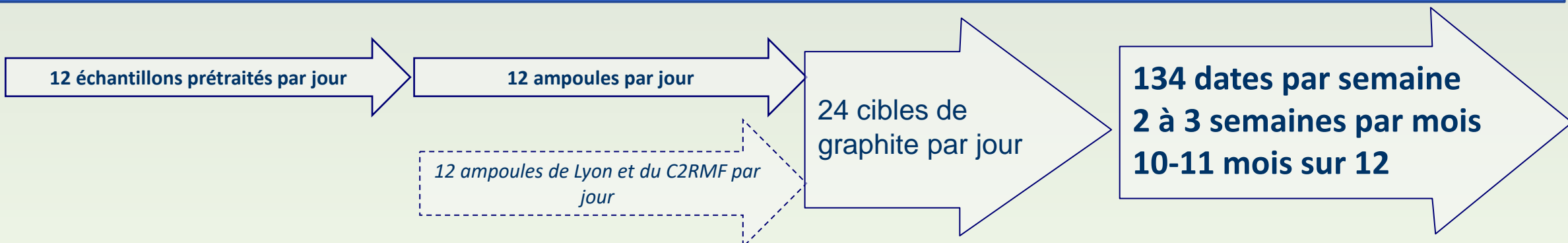
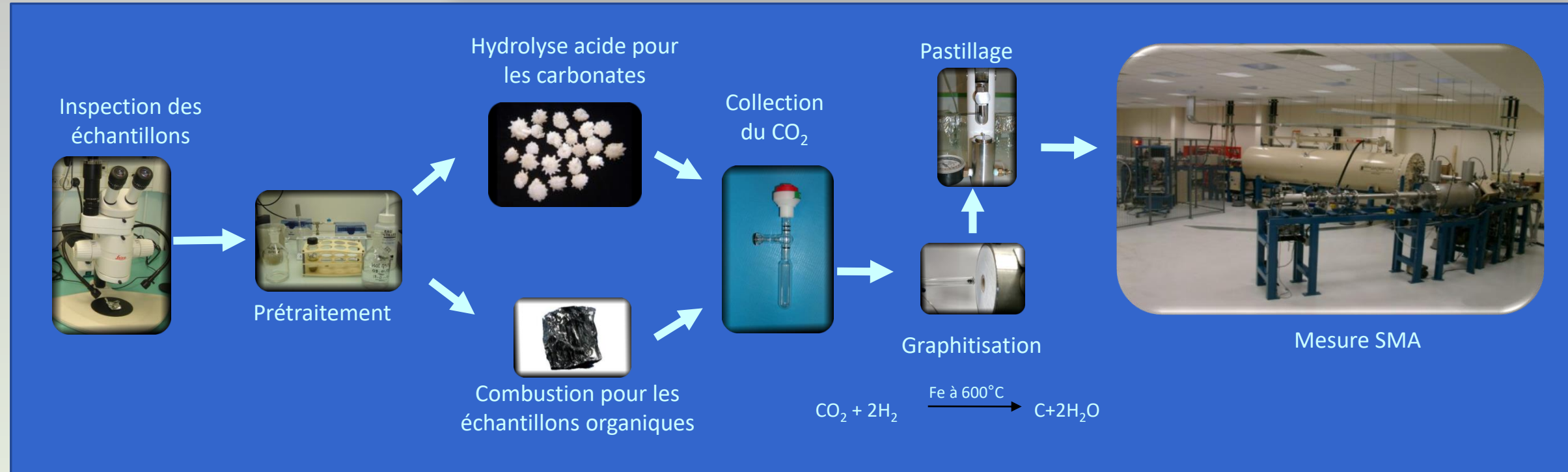
par comptage bêta  
par scintillation liquide

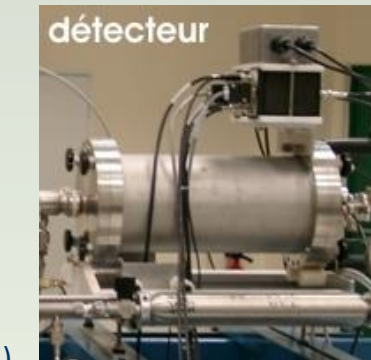
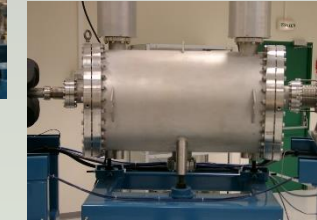
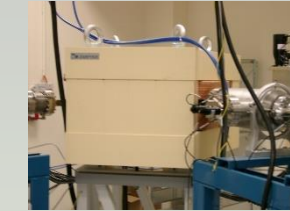
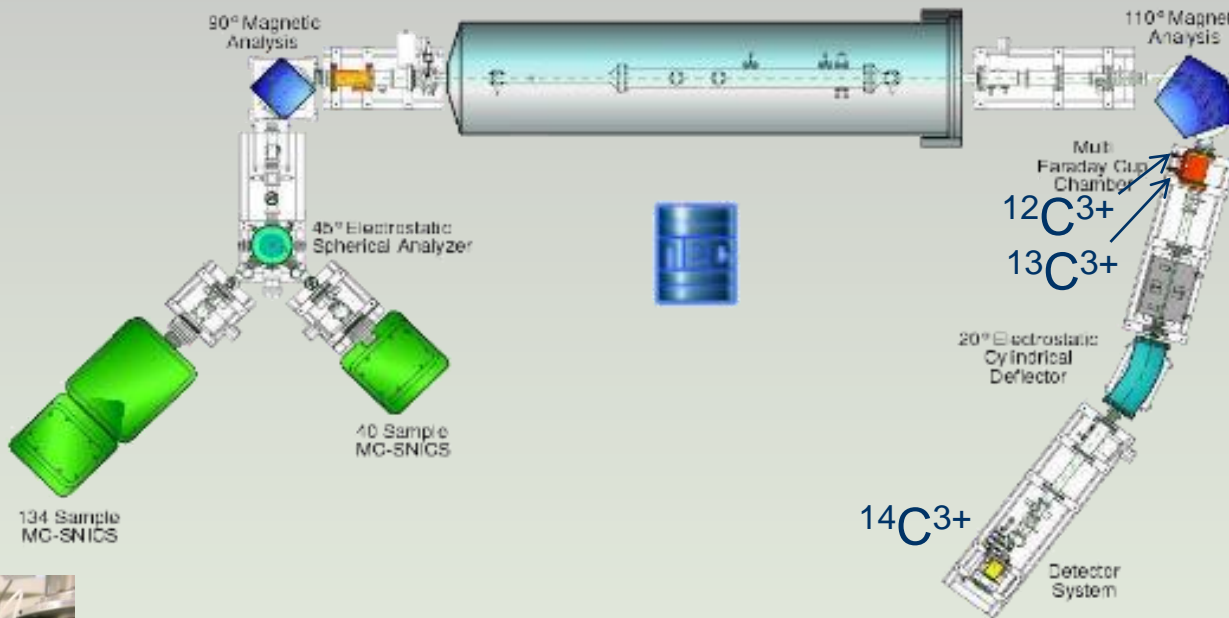
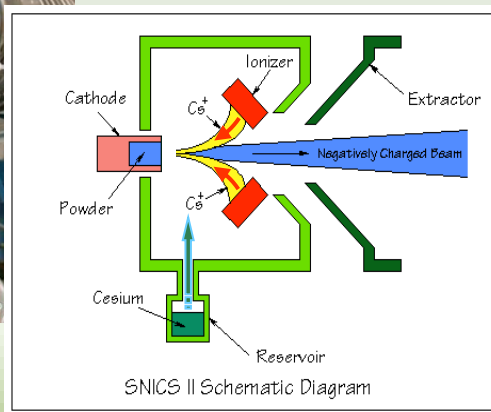
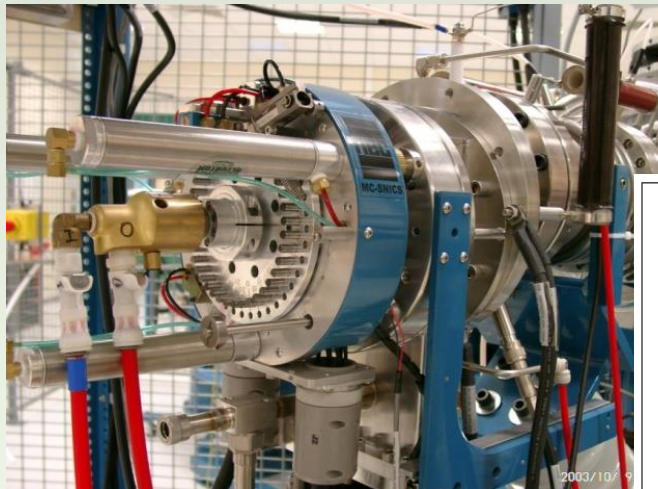


Ages absolus en années	Radioactivité spécifique en g par min (dpmg)	% de <sup>14</sup> C actif
0	13.56	100
5730	6.78	50
11460	3.39	25
22920	0.84	6.25
40110	0.1	0.78
57300	0.01	0.1

	Comptage β	AMS
Charbon de bois	5 à 10 g	5 à 10 mg
Os	100 à 500 g	1 à 5 g
Durée de la mesure	3 jours	1 heure
Précision de la mesure	+/- 40 ans, 5 derniers millénaires +/- 100 ans autour de 10 000 ans +/- 400 ans autour de 30 000 ans	

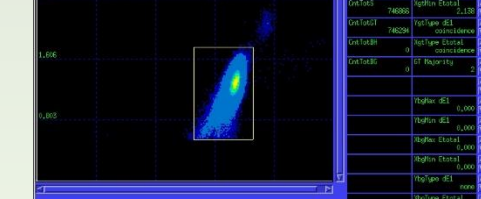






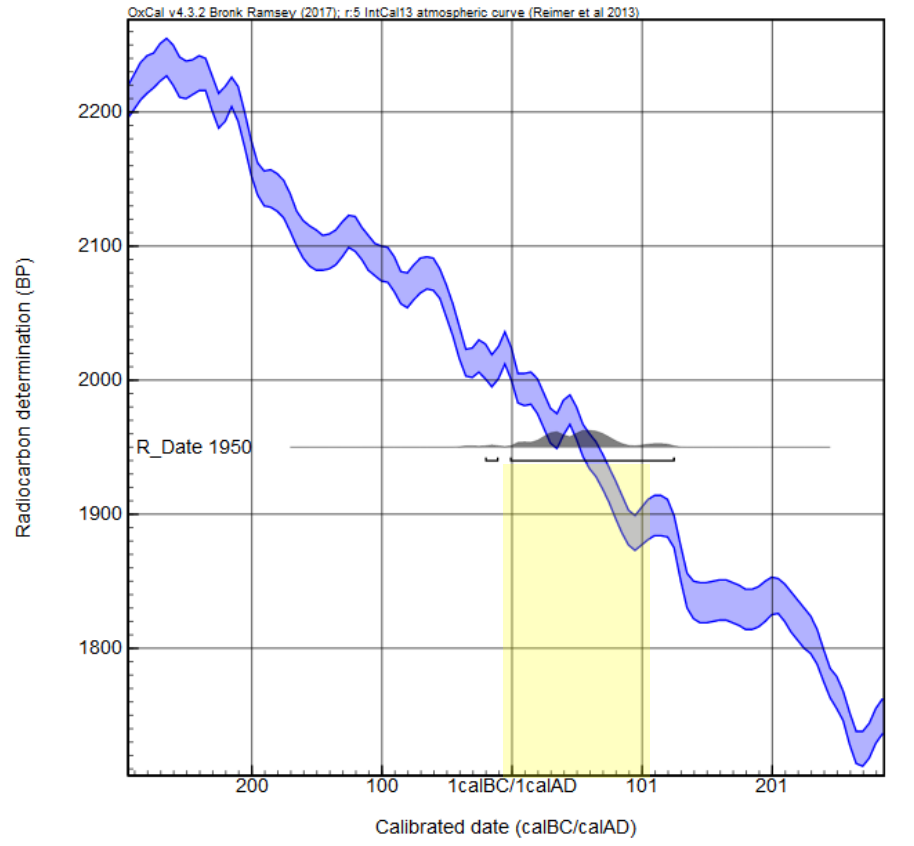
### Tandem accelerator

- 3 MV Pelletron tandem (NEC type 9SDH-2)
- Terminal voltage operation : 2.6 MV
- Ar gas stripper (molecules break & charge exchange)
- Final charge states : from 1+ to 4+



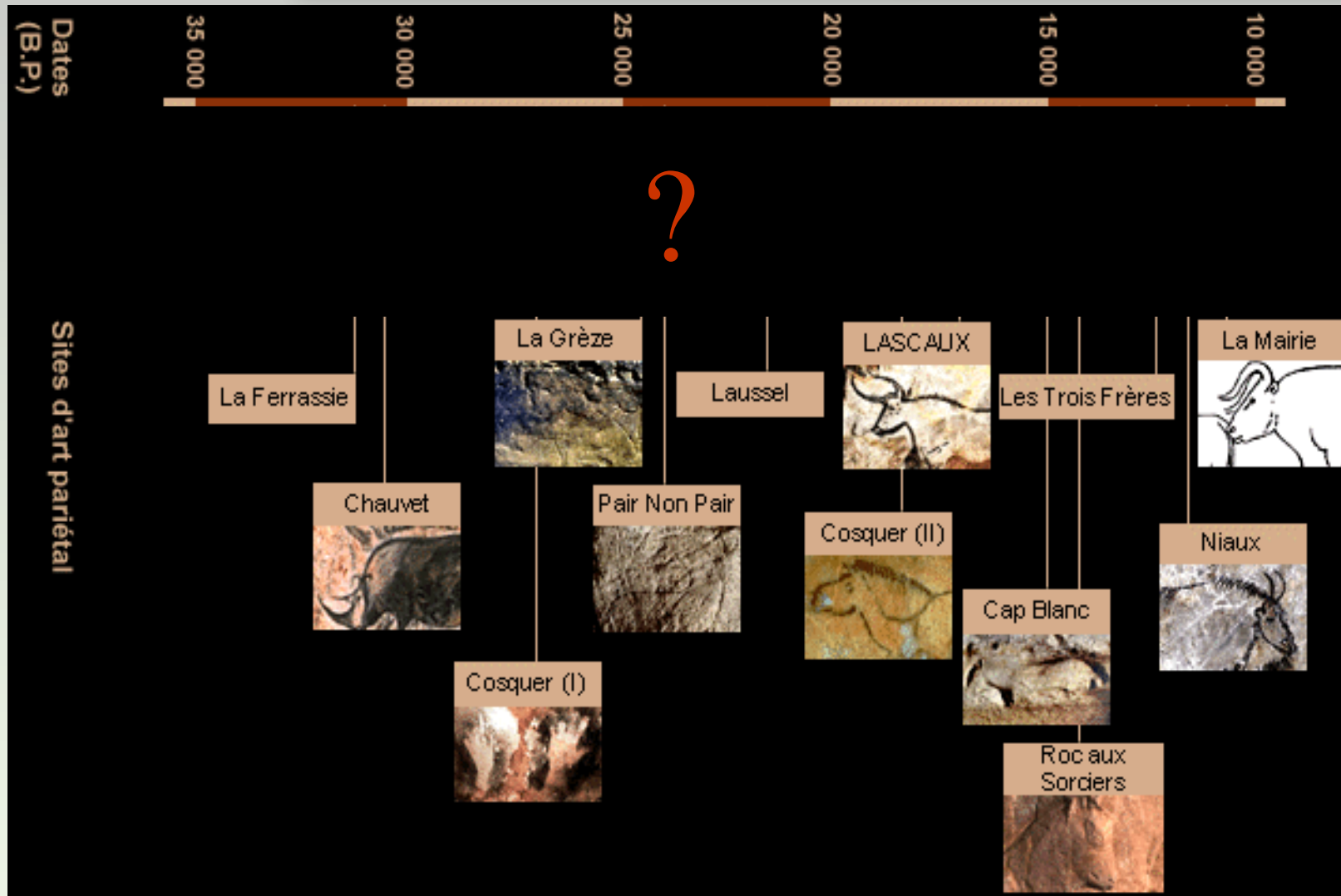
# Conversion âge mesuré en date calendaire

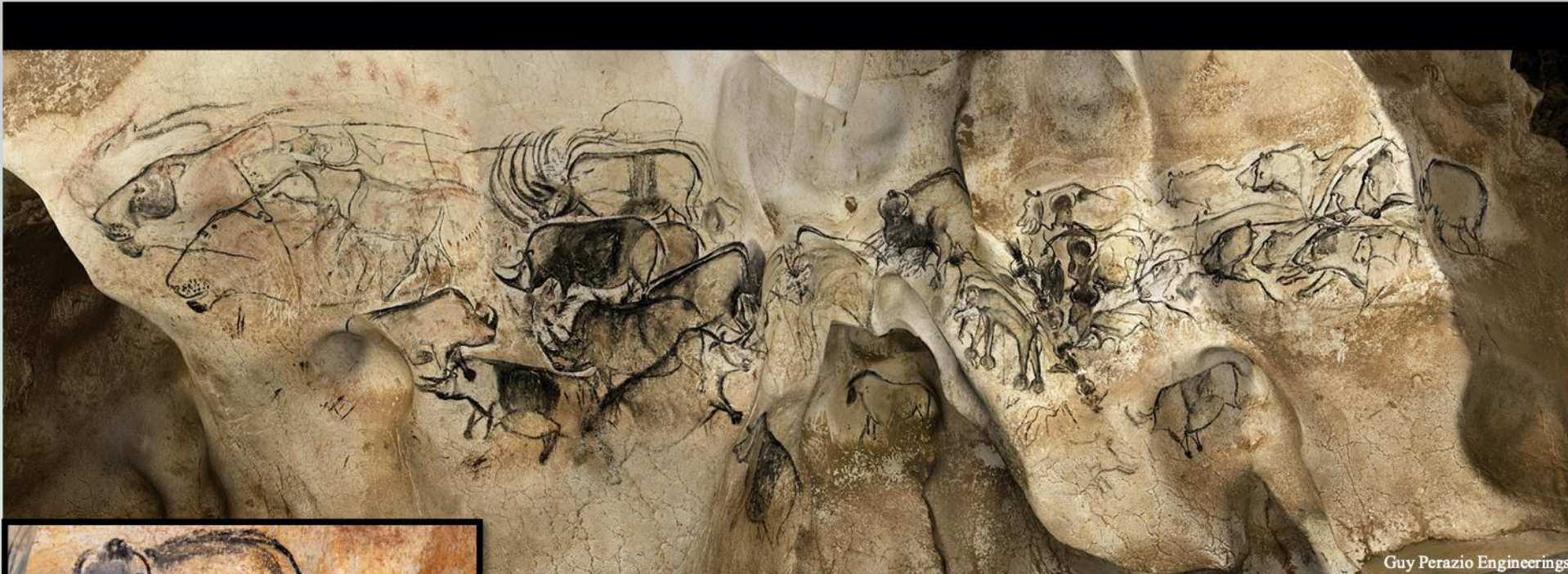
## Age BP → Date de notre calendrier



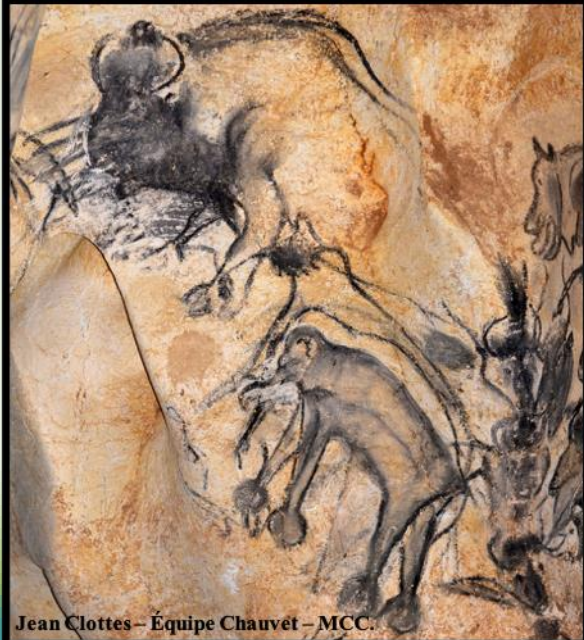
1950 Before Present +/- 30 ans

→ 21 av. J.-C. - 125 ap. J.-C.





Guy Perazio Engineerings



Jean Clottes – Équipe Chauvet – MCC.



Carole Fritz et Gilles Tosello – CNRS Équipe Chauvet

Découverte le 18  
décembre 1994



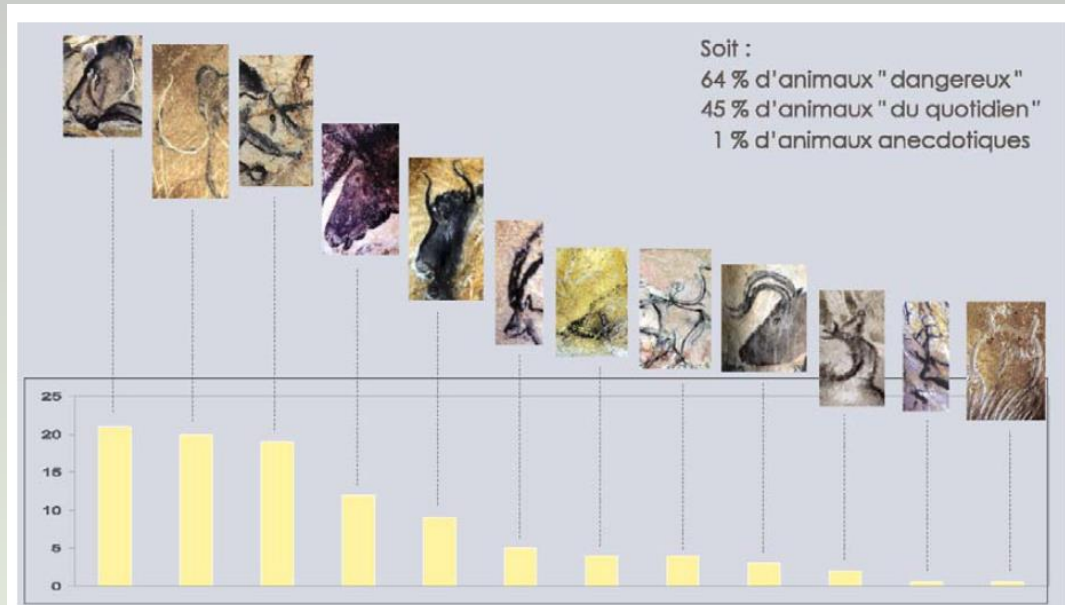


Fig. 3. Diagramme de fréquences des espèces animales constituant le bestiaire de l'ensemble de l'ornementation de la grotte Chauvet.  
Fig. 3. Diagram of the animal species frequencies that constitute the bestiary of the entire ornamentation of the Chauvet Cave.

## Figures noires au fusain !

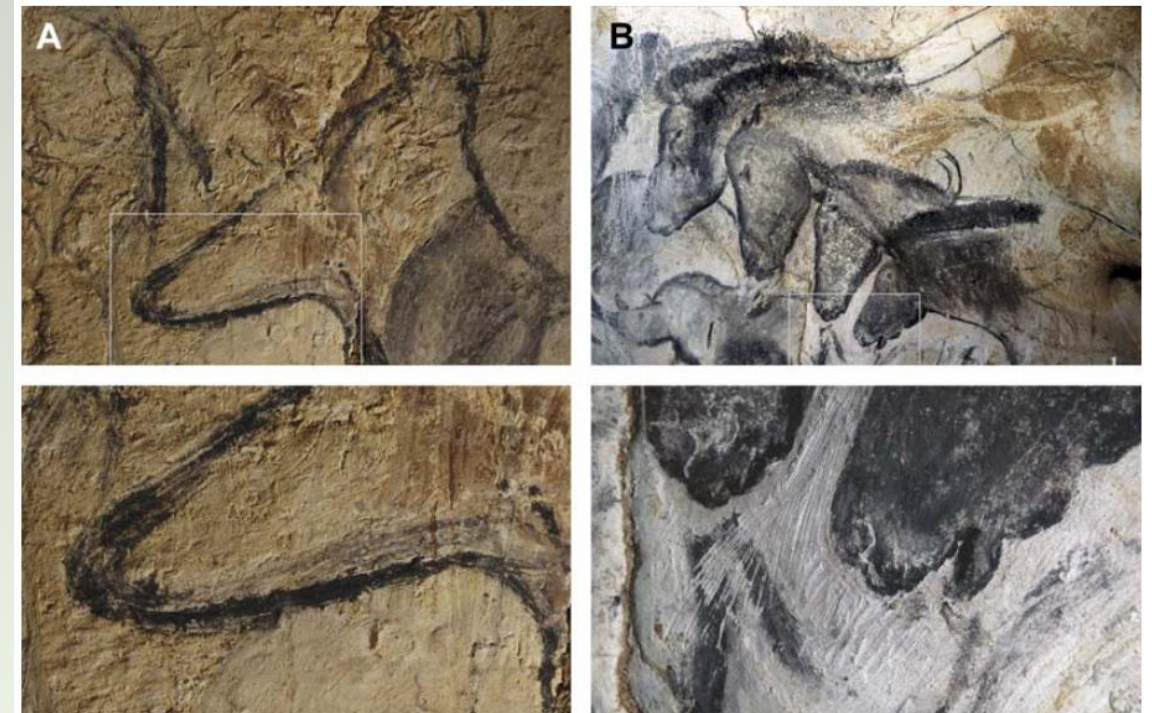


Fig. 4. Exemple de rehauts : (a) au fusain, les contours sont d'abord indiqués au trait léger, un remplissage à l'estompe est pratiqué, puis un trait affirmé vient renforcer le contour – panneau des Mégacéros, galerie des Mégacéros (cliché : D. Baffier, V. Feruglio) ; (b) au silex, une fois la figure terminée, les contours sont surgravés au silex pour faire ressortir la blancheur du support et donner plus de présence à l'ensemble – panneau des Chevaux (cliché : C. Fritz, G. Tosello).

Fig. 4. Example of enhancements: (a) with a charcoal, the contours are first indicated with a light line, a fill up by stumping is then done, then a strong line comes to enforce the contour – Megaloceros Panel, Megaloceros Gallery (© D. Baffier, V. Feruglio), (b) with a flint, once the figure is ended, the outlines are engraved with a flint in order to make the whiteness of the wall come out and in order to give more presence to the entire scene – Horses Panel (© C. Fritz, G. Tosello).

**brief communications**

emissions is not justified.  
Giulio A. De Leo<sup>a</sup>, Luca Rizzi<sup>b</sup>,  
Andrea Caizzi<sup>c</sup>, Marino Gatto<sup>d</sup>  
<sup>a</sup>Dipartimento di Scienze Ambientali, Università  
degli Studi di Parma, Piazza Area delle Scienze,  
Parma 43100, Italy  
e-mail:deleo@fafa.unige.it  
<sup>b</sup>Centro Elettrotecnico Sperimentale Italiano,  
Battistero Uva Ambiente, Via Reggio Emilia 39,  
Segrate 20092, Italy  
<sup>c</sup>Centro di Ingegneria Biomedica, Consiglio  
Nazionale delle Ricerche, Politecnico di Milano,  
Piazza Leonardo da Vinci 32, Milano 20133, Italy

<sup>d</sup>Ricerca per il Pianeta, G. W. Bush on Global Climate Change  
Città della Storia, The White House, 11 June 2001.

De Leo, G., A. De Leo & Caizzi, A. In Proc. 29th Int.  
Conf. Automation and Decision Making 247–256  
(SAFE, Milan, 2000).

Gaffik, S. & Thomas, J.M. Environmental Economics and  
Management: Theory, Policy and Application (Sweat,  
Chicago, 1996).

De Paoli, L. & Lorenzini, A. Economia e politica delle fonti  
rinnovabili e della sostenibilità (Franco Angeli, Milan, 1999).

RAEBOED Experience Center Energy Technology Policy (IEA,  
Paris, 2000) (<http://www.iea.org/publications/reviews.htm>).

Forsyth Committee, Final Report of the Committee of Energy Use (1–8  
March, Brussels, 1993) (<http://tinyurl.com/yd2qjw2>).

Hines, B. D. et al. (1997). New York State Environmental  
Assessment Code Study Vols 1, 2 (Oceana, New York, 1997).

Russell, J. (ed.) *Journal of Case and Benefits of Fuel Cycles*  
(Oak Ridge National Laboratory and Resources for the Future,  
Oak Ridge, Tennessee, 1994).

Gatto, M. & De Leo, G. A. *Nature* **386**, 107–109 (2003).

Interlaboratory Working Group Assessment for a Clean Energy  
Future (Oak Ridge National Laboratory, Tennessee, and  
Lawrence Berkeley National Laboratory, California;  
OPEN/COM-40 and LBNL-44028, 2000).

Supplementary information is available at <http://www.nature.com>  
or as paper copy from the London editorial office of *Nature*.

**Paleolithic paintings**

### Evolution of prehistoric cave art

Sophisticated examples of European paleolithic parietal art can be seen in the caves of Altamira, Lascaux and Niaux near the Pyrenees, which date to the Magdalenian period (12,000–17,000 years ago), but paintings of comparable skill and complexity were created much earlier<sup>1</sup>, some possibly more than 30,000 years ago<sup>2</sup>. We have derived new radiocarbon dates for the drawings that decorate the Chauvet cave in Vallon-Pont-d'Arc, Ardèche, France, which confirm that even 30,000 years ago Aurignacian artists, already known as accomplished carvers<sup>3</sup>, could create masterpieces comparable to the best Magdalenian art<sup>4</sup>. Prehistorians, who have traditionally interpreted the evolution of prehistoric art as a steady progression from simple to more complex representations, may have to reconsider existing theories of the origins of art.

The chronology of European prehistoric cave paintings has been loosely based on the style of fauna depicted or on dated remains left by cave occupants, but has become more precise with radiocarbon dating of the char-

coal pigments themselves. Accelerator mass spectrometry, which relies on the separation and counting of carbon isotopes, requires much less of this precious sample material than traditional  $^{14}\text{C}$ -dating techniques.

Uncalibrated radiocarbon ages in excess of 22,000 years (22 Kyr before present (BP)) have been calculated for paintings in several French caves, mostly on the tandem accelerator at Gif-sur-Yvette, France<sup>5</sup>. The charcoal of the painting itself can be dated<sup>6</sup>, either directly or in trace organic residues that have a temporal relationship to the paintings, for example as charcoal mingled with ochre pigments. Also datable are smudges left by torch-bearers which, if found on the calcite coating of a drawing, indicate a time before which the drawing must have been created.

Indirect evidence of extensive painting activity before the Solutrean period comes from radiocarbon dates for drawings at two French caves — a 26.9-Kyr-old bone chip was extracted from a fissure crossing a stencilled hand at Gargas<sup>7</sup>, and three burnt bones, mixed with red and yellow ochre at the base of several designs in the Grande Grotte d'Ayzac-sur-Couze<sup>8</sup>, are aged at 26–28 Kyr; torch smears marring the red frieze date to about 27 Kyr BP<sup>9</sup>.

At four other French caves, charcoal from the drawings themselves has been dated. During investigations at Cougnac, dates between 23 and 25 Kyr BP were obtained for two giant deer<sup>10</sup>, and at nearby Pech Merle, the right-facing spotted horse is dated to 24.7 Kyr BP<sup>11</sup>. In Conquer, we dated 13 drawings<sup>12</sup> at 27–28 Kyr for two stencilled hands, a bison and an oval sign — all other drawings but two were 18–20 Kyr old (cave-floor charcoal fits within the same two periods)<sup>13</sup>.

In the Chauvet caves, which consist of several chambers, we derived radiocarbon dates of between 29.7 and 32.4 Kyr BP for charcoal (0.27–1.40 mg carbon) from animals painted in the Salle du Fond and in the 'horse' panel (Fig. 1) of the Hillaire chamber<sup>14</sup>. Two torch rubbings, one from the same panel and another from the Cierge chamber, were about 27 Kyr old, a reasonable age considering that in one case the torch was scraped against a calcite-coated animal. We obtained an age of 31.4 Kyr for a giant deer at the entrance to the Mégacéros gallery (see supplementary information). Charcoal was obtained from under a bear skull placed on a stone slab in the Criné chamber and from the Mégacéros gallery, which is carpeted with charcoal particles of various sizes as though it had been used as a charcoal factory<sup>15</sup>. Apart from two roughly 26-Kyr-old specimens, most of the charcoal was produced between 29 and 32 Kyr BP, suggesting that there may have been two significant episodes of human intrusion before the cave was sealed off by a rockfall.

This latest comprehensive dating confirms our earlier provisional assignment of the Chauvet cave art to the Aurignacian period<sup>16</sup>. Future discoveries will reveal the nature of paintings that predate those in the Chauvet cave.

H. Valladas<sup>a</sup>, J. Clottes<sup>b</sup>, J.-M. Geneste<sup>c</sup>,  
M.-A. Gaucijs<sup>d</sup>, M. Arnold<sup>e</sup>, H. Cachier<sup>f</sup>,  
N. Tinnerat-Labasse<sup>d</sup>

<sup>a</sup>Laboratoire des Sciences du Climat et de  
l'Environnement, UMR CEA-CNRS 1572,  
91198 Gif-sur-Yvette Cedex, France  
e-mail: helene.valladas@lsc.ecole.ens.fr  
<sup>b</sup>111 Rue du Foucault, 09000 Foix, France  
<sup>c</sup>Service Régional de l'Archéologie d'Aquitaine,  
DRAC d'Aquitaine, 54 Rue Magendie,  
33074 Bordeaux, France  
<sup>d</sup>Maison de l'Archéologie et de l'Ethnologie, 21 Allée  
de l'Université, 92023 Nanterre, France  
<sup>e</sup>UMS 2004 (CNRS-CEA), Tardesron Bâtiment 30,  
91196 Gif-sur-Yvette, France

<sup>f</sup>Lambacher, M. *Les Grottes Dordogne de la Préhistoire*  
(Editions, Paris, 1995).

1. Clottes, J. & Courteau, L. *Le Grotte Caverne* (Soulci, Paris, 1996).

2. Clottes, J. et al. *Arch. Sci. Paris* **326**, 1135–1140 (1993).

3. Clottes, J. (ed.) *La Grotte Chauvet: L'art des Origines* (Soulci, Paris, 2001).

4. Valladas, H. et al. *Radiocarbon* (in press).

5. Valladas, H. et al. *Nature* **395**, 48–50 (1998).

6. Gaucijs, M. & Valladas, H. *Bull. Soc. Préhist. Fr.* **99**, 229–234 (2002).

7. Gaucijs, M. et al. *Galeries Archéologiques de Bourgogne* **6**,  
17–23 (1999).

8. Baffet, D. et al. *Bull. Soc. Préhist. Fr.* **100**, 1–3 (2001).

9. Valladas, H., Cachier, H., Arnold, M. *Bull. Soc. Préhist. Fr.* **100**, 18–19 (1999).

10. Clottes, J. et al. *Bull. Soc. Préhist. Fr.* **100**, 230–234 (1999).

11. Clottes, J. et al. *Bull. Soc. Préhist. Fr.* **100**, 235–236 (1999).

12. Clottes, J. et al. *Bull. Soc. Préhist. Fr.* **100**, 237–238 (1999).

13. Clottes, J. et al. *Bull. Soc. Préhist. Fr.* **100**, 239–240 (1999).

14. Clottes, J. et al. *Bull. Soc. Préhist. Fr.* **100**, 241–242 (1999).

15. Clottes, J. et al. *Bull. Soc. Préhist. Fr.* **100**, 243–244 (1999).

16. Clottes, J. et al. *Bull. Soc. Préhist. Fr.* **100**, 245–246 (1999).

© 2001 Macmillan Magazines Ltd

479

In the Chauvet caves, which consist of several chambers, we derived radiocarbon dates of between 29.7 and 32.4 Kyr BP for charcoal (0.27–1.40 mg carbon) from animals painted in the Salle du Fond and in the 'horse' panel (Fig. 1) of the Hillaire chamber<sup>14</sup>. Two torch rubbings, one from the same panel and another from the Cierge chamber, were about 27 Kyr old, a

- 2004 : First Intercomparison Program, 6  $^{14}\text{C}$  laboratories.  
*Successful results: average age of ~32 ka BP for the three pieces of charcoal collected from one archaeological hearth structure in the Galerie des Mégacéros (Cuzane et al. 2007)*
- 2012 : Second Intercomparison Program, 10  $^{14}\text{C}$  laboratories. (Quiles et al. 2014).



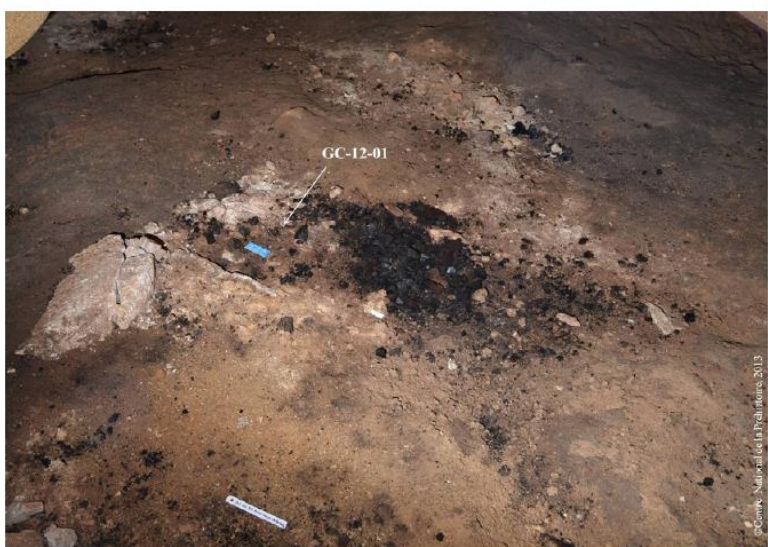


Figure 1 Archaeological hearth structures in the Galerie des Mégacéros, from which GC-12-01 (a) and GC-12-04, GC-40, GC-41, and GC-42 (b) were sampled. ©Centre National de la Préhistoire, France, 2013.



Figure 2 Sample GC-12-04 lifted from an archaeological hearth structure in the Galerie des Mégacéros. ©Laboratoire des Sciences du Climat et de l'Environnement, France, 2012.

Quiles et al. Radiocarbon 56, 2014

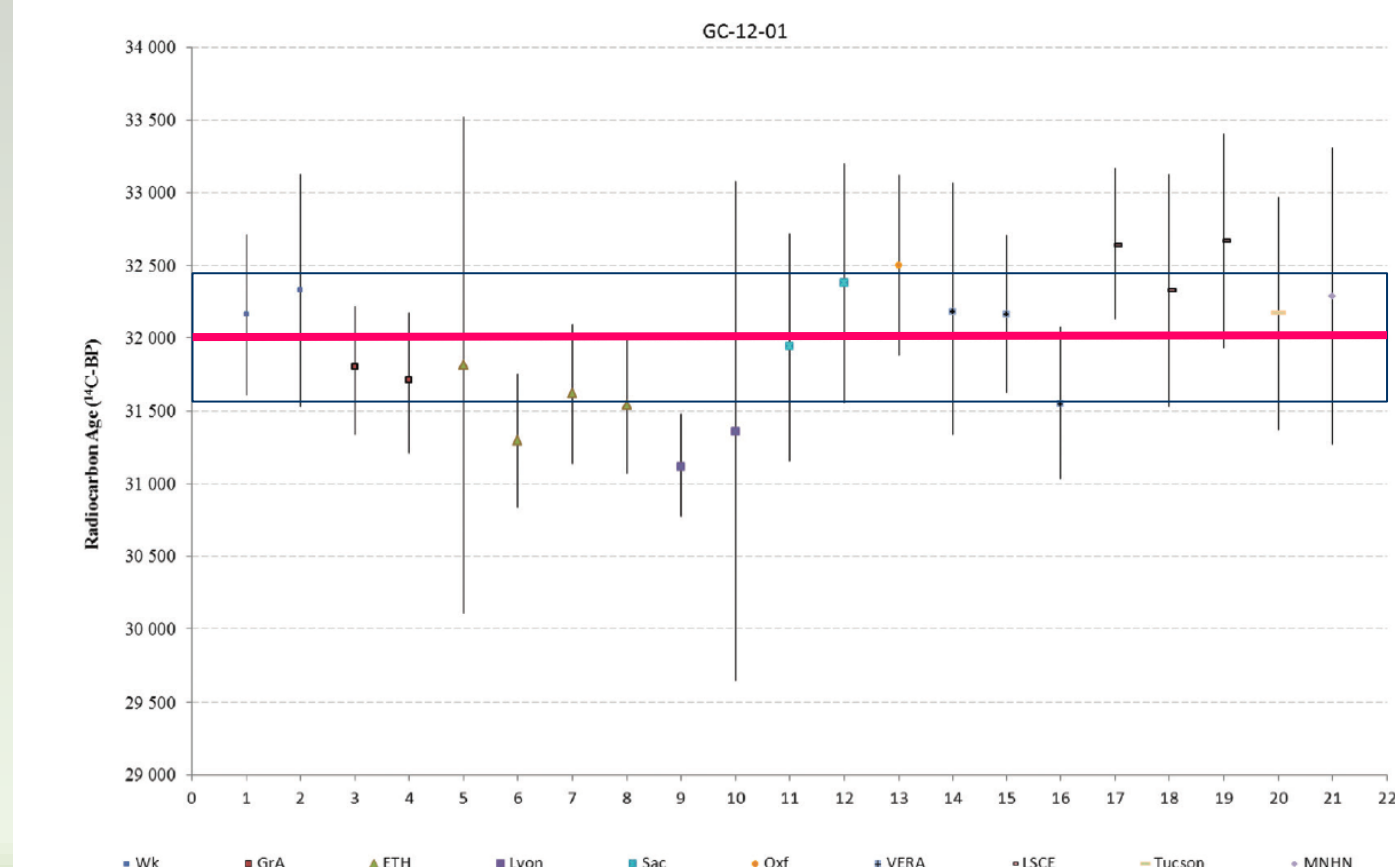
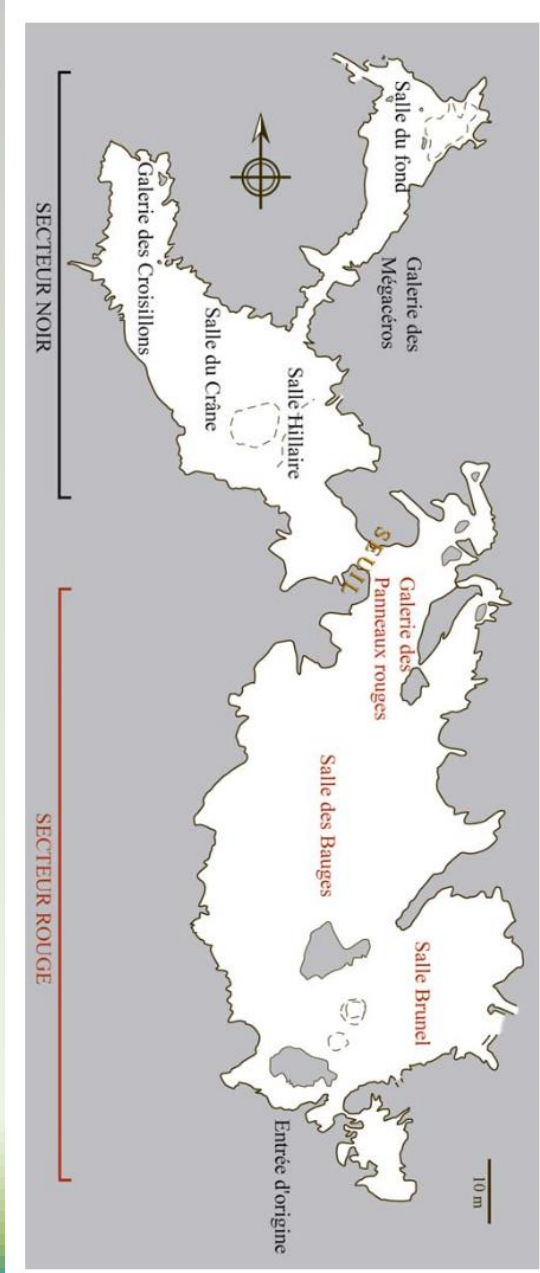
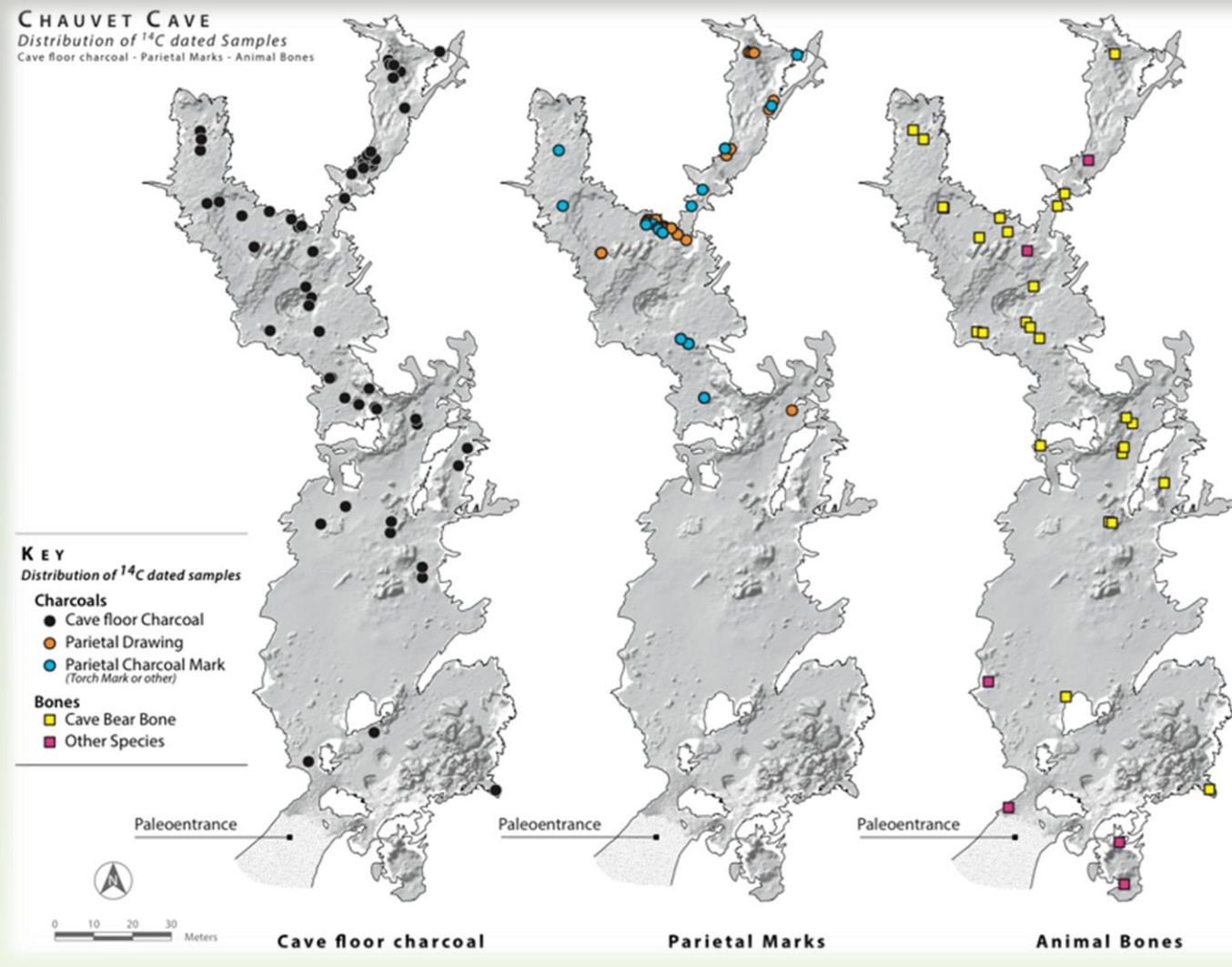


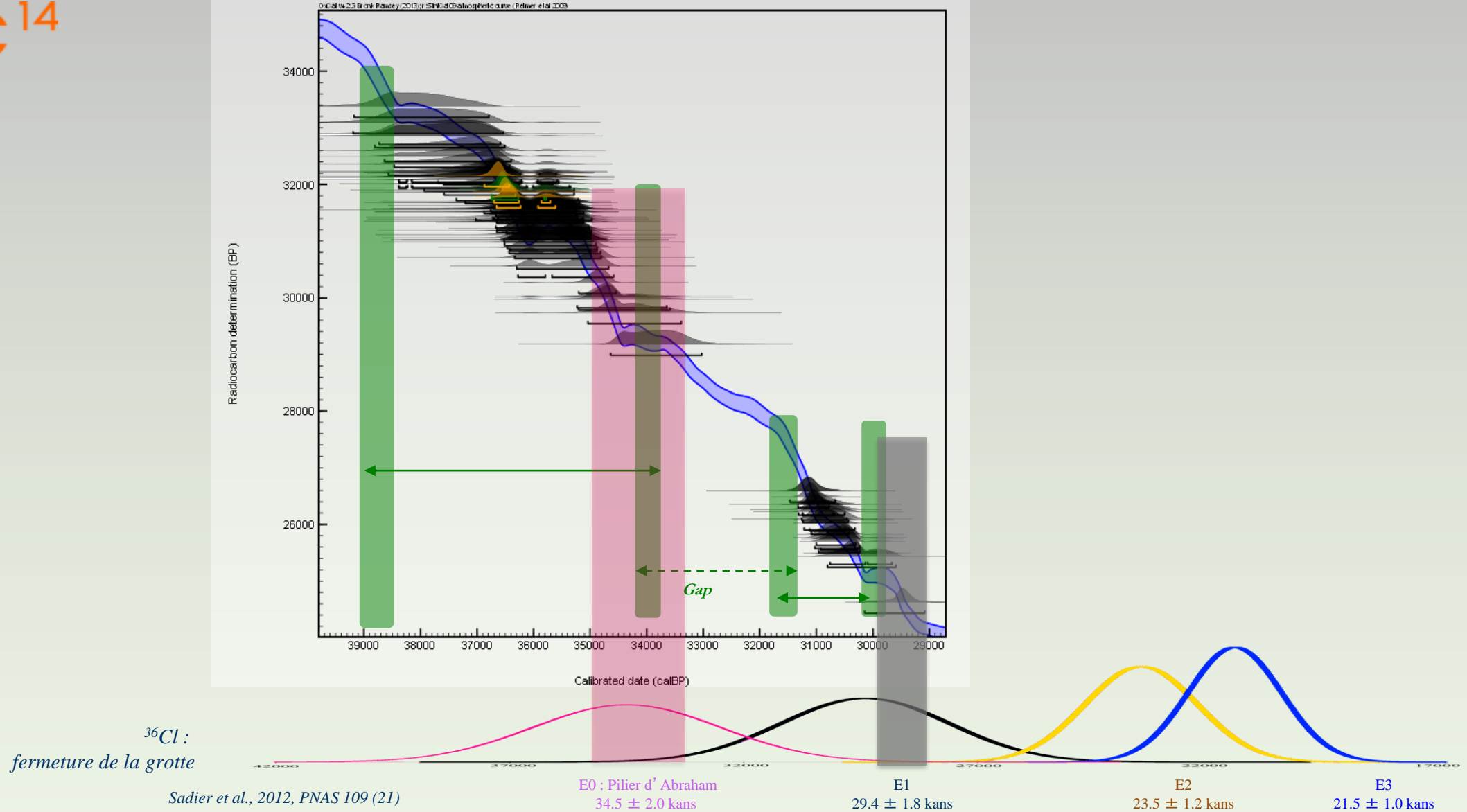
Figure 3 Radiocarbon results obtained for GC-12-01, with a  $2\sigma$  range. The 10 laboratories performed 21 measurements, using their own chemical pretreatment (ABA, ABOX, “mild acid only,” alkaline fraction) and AMS facility (seven different ones). They range from  $32,670 \pm 380$  to  $31,120 \pm 180/170$  BP with an average value of  $31,979 \pm 378$  BP; all are compatible with a  $2\sigma$  range. Note that the large uncertainty of one ETH analysis is due to the small amount of C used (see text).



# Grotte de Chauvet : la compil

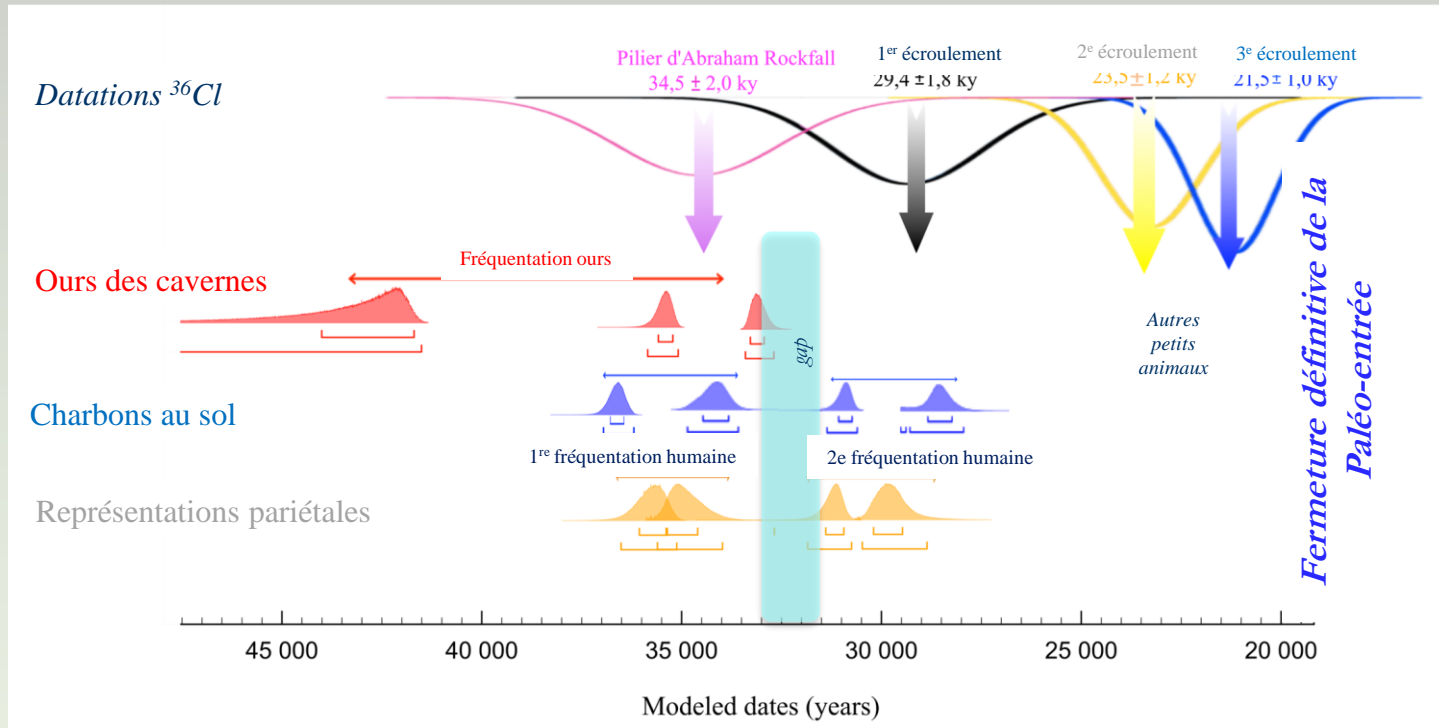
➤ Jeu de plus de 230 datations







## Les temps de la grotte Chauvet-Pont d'Arc



Quiles et al., PNAS 113, 2016

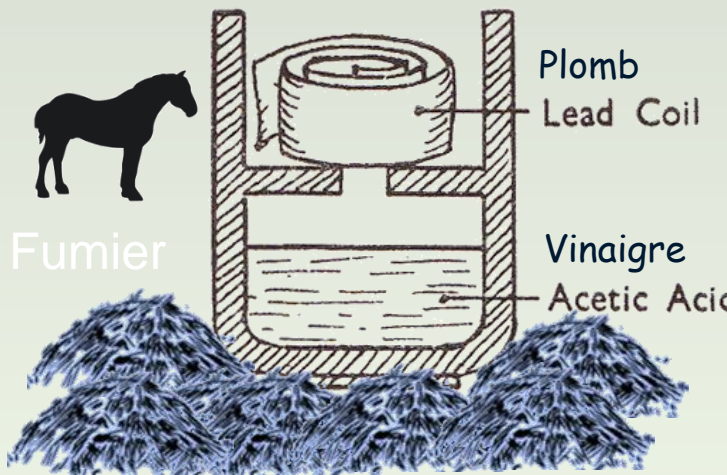
# Le blanc de plomb : des cosmétiques antiques à la peinture



Walter al., *Nature* 397, 1999  
Lucile Beck-2023

Théophraste (IVe siècle av. J.-C.)

«Ils sont préparés artificiellement le plomb blanc. Du **plomb** de la grosseur d'une brique est placé dans des récipients sur du **vinaigre** et, lorsque ceci acquiert une masse épaisse, ce qui se fait généralement en dix jours, les bocaux sont ouverts et une sorte de **moisissure** est raclée. La partie raclée est broyée dans un mortier et décantée fréquemment, et ce qui reste finalement au fond est du plomb blanc. »



PhD M. Stols-Witlox, 2014  
Thèse V. Gonzalez, 2016



Lucile Beck-2023



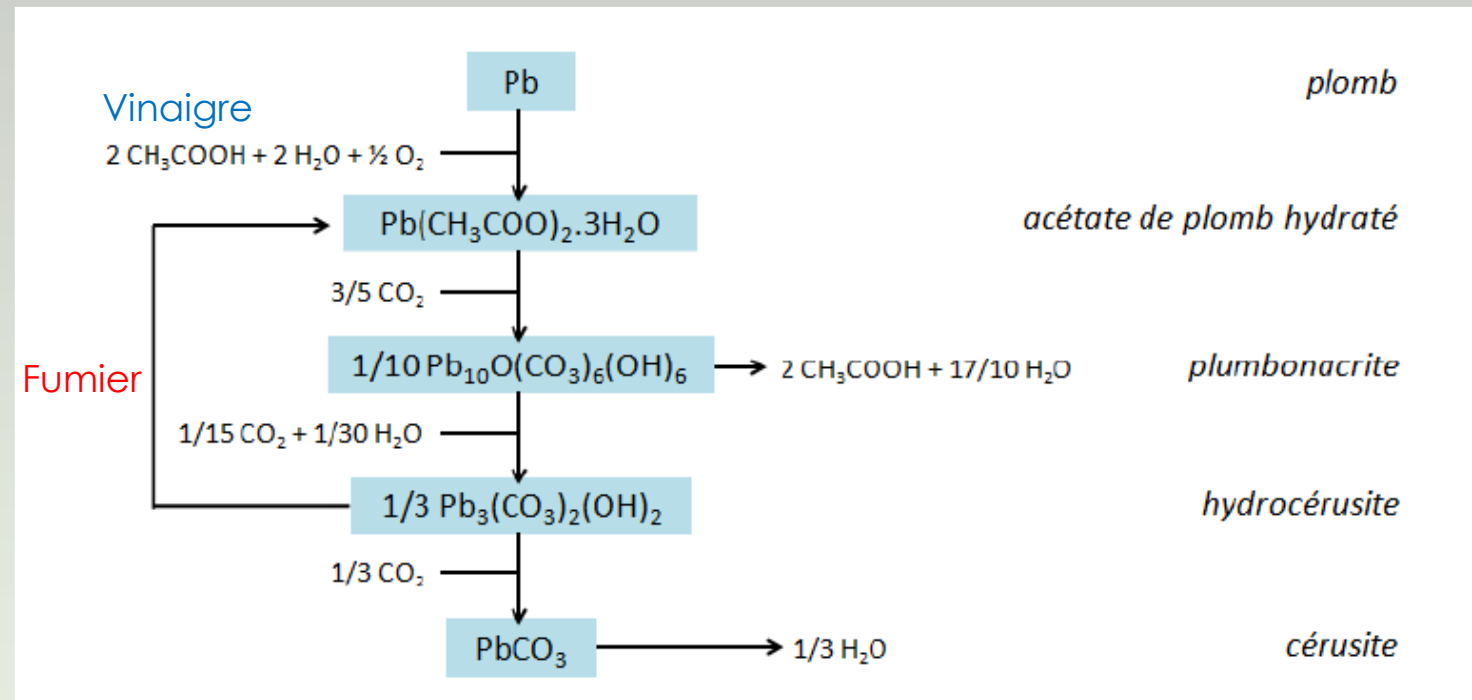
Figure III. 19: Étapes de la fabrication du blanc de plomb commercial issu d'un procédé d'empilement (a) : rouleaux de plomb métallique, (b) : strate de jarres contenant les rouleaux et prêtes à être recouvertes de fumier, (c) : rouleaux corrodes lors de l'ouverture des jarres après 4 mois de corrosion, (d) : pigment obtenu (on constate que le produit s'est détaché sous forme d'écaillles). © Natural Pigments

Fumier produit du CO<sub>2</sub>



Procédé des loges ou  
procédé hollandais

Fumier produit du CO<sub>2</sub>



→ Fumier = CO<sub>2</sub> d'origine organique → C d'origine organique → <sup>14</sup>C → datation



2000 BC



4<sup>th</sup> – 3<sup>rd</sup>  
century BC



1400

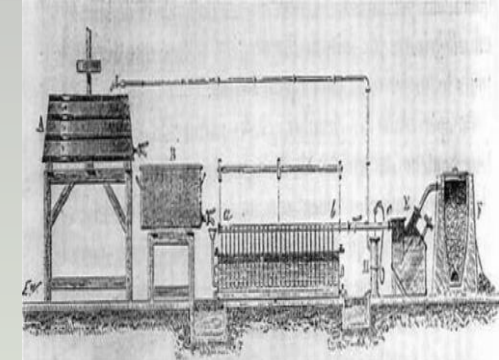
Castle of  
Germolles,  
Burgundy

1500



Church of the  
Cordeliers,  
Fribourg

19<sup>th</sup>



Clichy  
process =  
wet process

A N T I Q U I T E

Natural Cerussite

E M A - R E N A I S - M

Artificial lead white

I N D U S  
T R I E

Artificial lead white :  
Wet process + Other

Methods

**Natural Cerussite**  
cannot be dated by  
radiocarbon

- **Artificial lead white** can be dated by radiocarbon if incorporation of atmospheric CO<sub>2</sub>
- Manufacture of lead white from the 4<sup>th</sup> century until the beginning of the 20<sup>th</sup> century

⇒ ABSOLUTE DATING BY RADIOCARBON

**Artificial lead white**  
cannot be dated by  
radiocarbon  
**RELATIVE DATING**



En ce moment Plan VIGIPIRATE | Patrimoine immobilier en péril - mission "Stéphane Bern" | Consultation

Accueil Ministère | Presse | Communiqués de presse

Françoise Nyssen salue la découverte du Laboratoire de mesure du Carbone 14 qui constitue une avancée considérable pour le patrimoine culturel, archéologique et artistique



## Communiqué de presse

**Françoise Nyssen salue la découverte du Laboratoire de mesure du Carbone 14 qui constitue une avancée considérable pour le patrimoine culturel, archéologique et artistique**

PUBLIÉ LE 28.06.2018 À 14H00 - PARIS

Françoise Nyssen, ministre de la Culture salue la découverte réalisée par le Laboratoire de mesure du Carbone 14 (LMC14), cofinancé par le ministère de la Culture

Un nouveau matériau pour le <sup>14</sup>C !

Essonne : au CEA de Saclay, les scientifiques se mettent au ...

Le Parisien - 12 juil. 2019

Dernier zoom sur ARC-Nucléart. Cet atelier laboratoire est principalement basé au CEA de Grenoble (Isère), mais les chimistes, physiciens, ...



Le CEA et le CNRS mettent l'atome au service du patrimoine

L'Usine Nouvelle - 17 août 2019

Lucile Beck est maître du temps. Docteur de physico-chimie au CEA et directrice du laboratoire de mesure du carbone 14 (LMC), elle est ...



Des chercheurs découvrent comment appliquer la méthode ...

Sciences et Avenir - 12 juil. 2019

... de plomb fut abondamment utilisé, notamment dans les peintures à l'huile, pour la réalisation des carnations", nous explique Lucile Beck, ...



Restauration des œuvres d'art : l'atome au service du ...

L'Express - 16 août 2019

Restauration des œuvres d'art : l'atome au service du patrimoine ... dans les locaux du CEA, est spécialisé dans la conservation et la ...



## Des cosmétiques de l'antiquité datés avec précision

La datation au carbone 14 a été utilisée pour des poudres blanches, synthétisées dans l'ancienne Égypte et la Grèce antique.

MARC CHERKI @pmcherki

**CHIMIE** De manière irréfutable, des chercheurs ont daté des cosmétiques utilisés dans l'ancienne Égypte et la Grèce antique, fabriqués il y a entre 2200 et 3800 ans. Ces dates correspondent à peu près à celles données par les archéologues pour quatre poudres égyptiennes et une grecque, conservées au Musée du Louvre. Les historiens de l'art avaient estimé leurs âges au moyen d'indices : forme des boîtes, matériaux utilisés (bois, roseau, alabastre), lieu des fouilles... Cette correspondance

plomb. « À ma connaissance, la datation au radiocarbone n'avait jamais été testée pour la céramique et de la phoenécie, ce que les chimistes appellent des carbonates de plomb. Or ces pigments blancs ont été très utilisés pendant toute l'histoire de l'art », explique Lucile Beck responsable du laboratoire de mesure du carbone 14 à Saclay (CNRS, CEA, IRSN, IRD et ministère de la Culture) et premier auteur de l'article publié dans *Communications Chemistry*.

## Blanc de plomb

Pourquoi personne n'avait pensé à cette

base de plomb, qui ont été synthétisées.

Mais la méthode est destructive. C'est-à-dire qu'il faut retirer un peu de matière de l'objet à dater. L'œuvre d'art est donc altérée par la mesure, même si l'échantillon prélevé n'a que la taille d'une tête d'épinglé. Améliorée dans les années 1990, la méthode actuelle utilise un spectroscopie de masse avec un accélérateur linéaire de particules. « Il faut environ 1 mg de carbone, soit 10 à 20 mg de matière à prélever. C'est 100 à 1000 fois moins que pour une datation classique au radiocarbone », précise Lucile Beck. Mais à Saclay, les chercheurs veulent encore faire mieux.





Datation du fer produit par le procédé direct

$^{14}\text{C}$  dating



Date de fabrication du métal

Collaboration avec le LAPA (CEA-CNRS) car nécessite au préalable une caractérisation très fine du métal qui contient entre << 1%

# Construction des cathédrales

(coll. M. L'Héritier, S. Leroy)

**la Croix**

## Le secret de la solidité des cathédrales gothiques

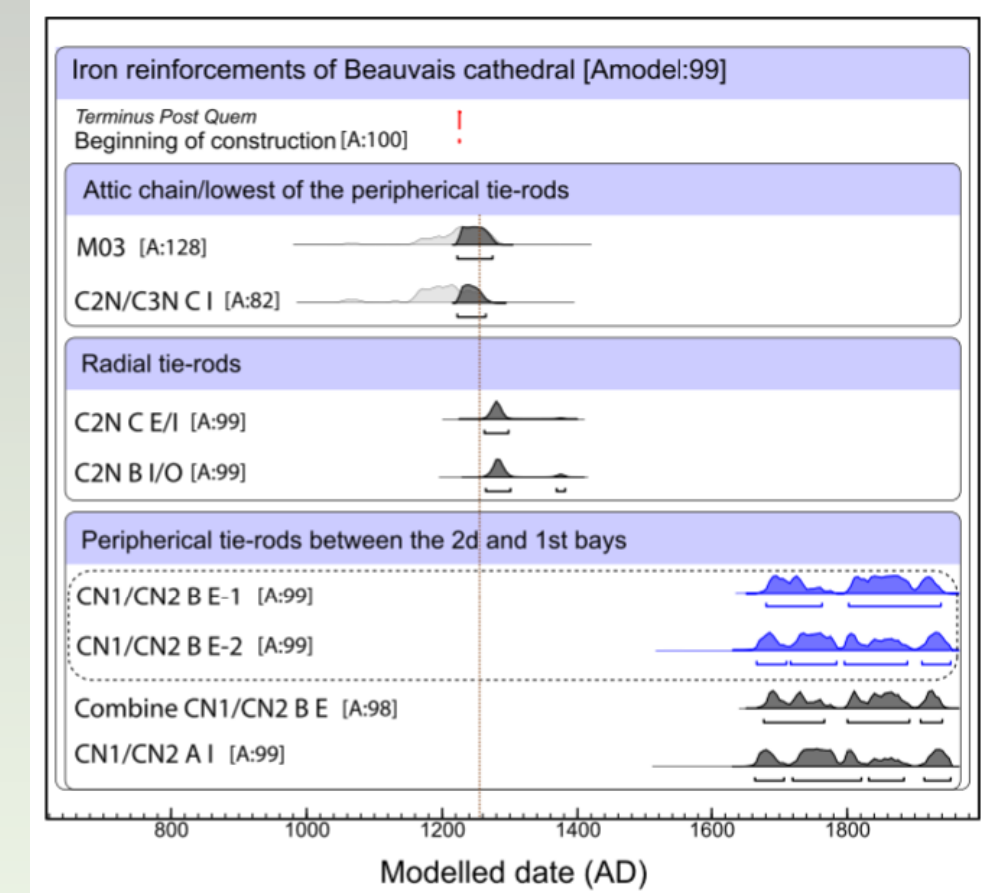
En datant par carbone 14 les pièces métalliques retrouvées dans les cathédrales gothiques, des chercheurs français viennent de montrer que le fer était introduit en renfort de la pierre dès l'étape de construction.



P. DILLMANN / CNRS  
Des chercheurs ont découvert que le fer était utilisé dans la construction des cathédrales gothiques en renfort de la pierre.

Lucile Beck-2023

## Datation des tirants



Leroy et al., JAS, 53, 2015



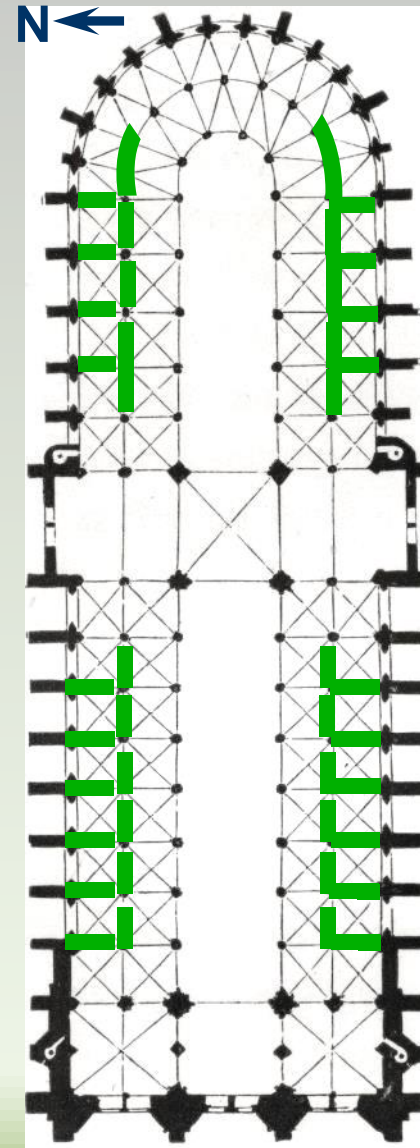
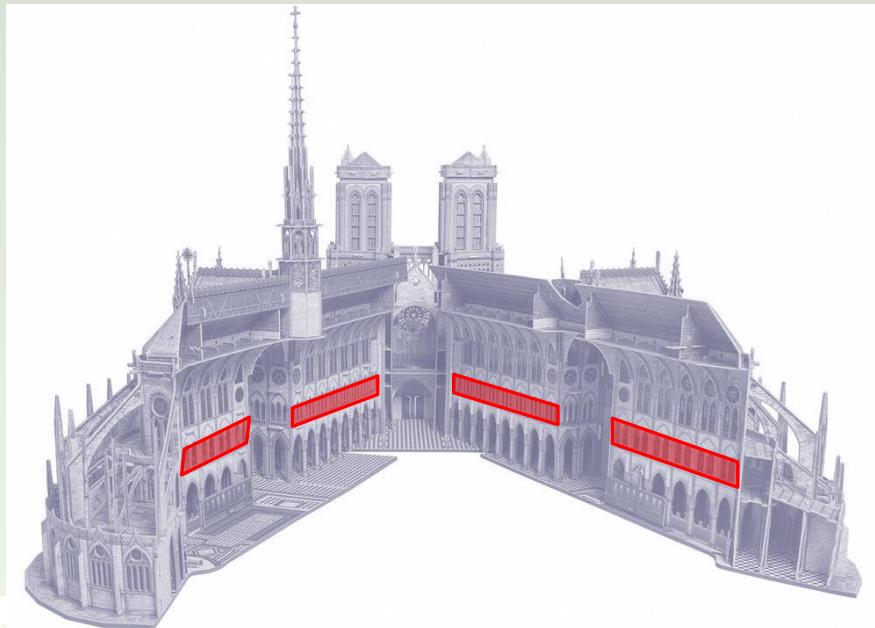
# Construction des cathédrales GT métal de Notre- Dame

(coll. M. L'Héritier, S. Leroy, E. Delqué-Kolic, JP. Dumoulin)





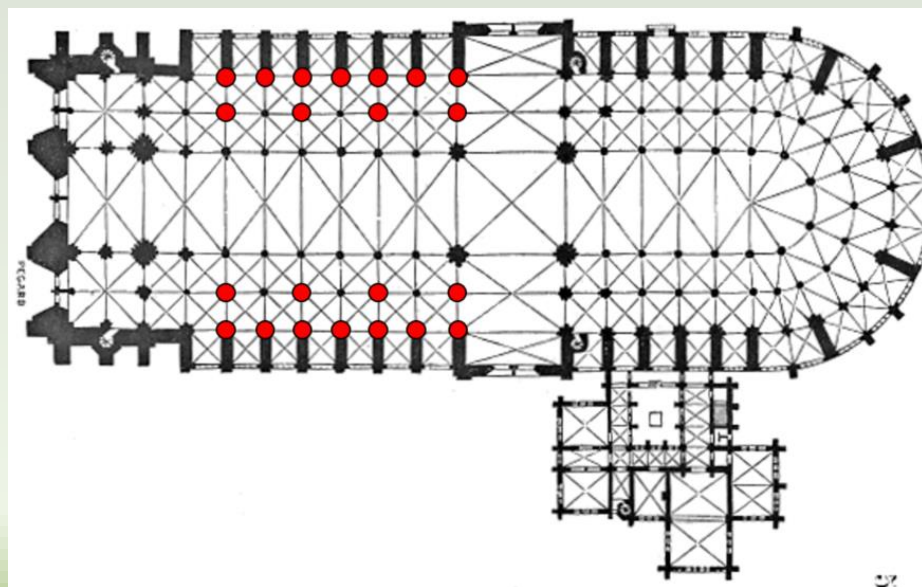
# Localisation des fers : agrafes des tribunes



- 7 prélèvements au total (5 dans le chœur, 2 dans la nef)



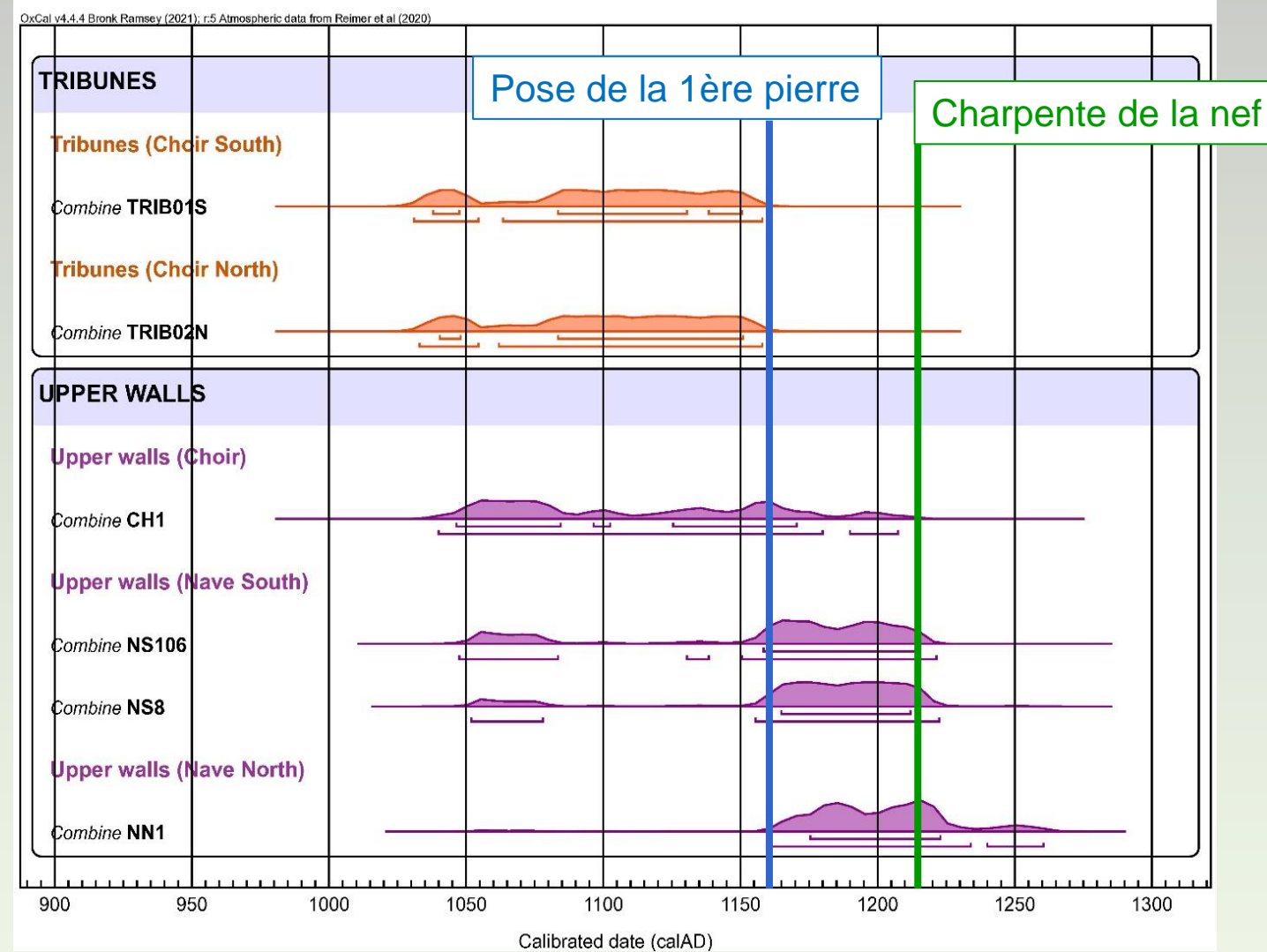
# Agrafes des colonnes du collatéral extérieur de la nef



➤ 1 prélèvement

# Agrafes des murs-bahuts





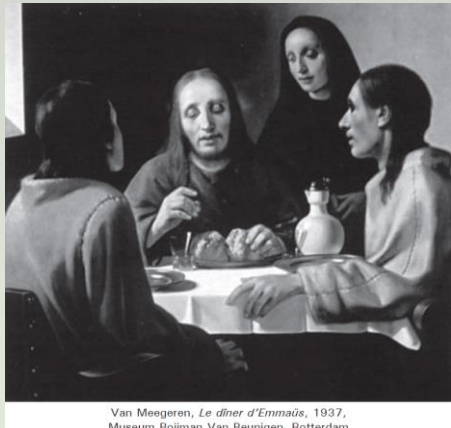
Lucile Beck-2023



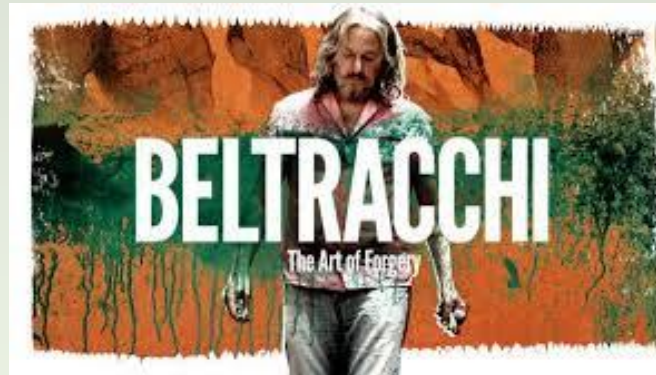
Institut de Recherche  
pour le Développement  
FRANCE



“Millions of counterfeit art works are circulating in the online environment”



Vermeer, Hals/Van Meegeren



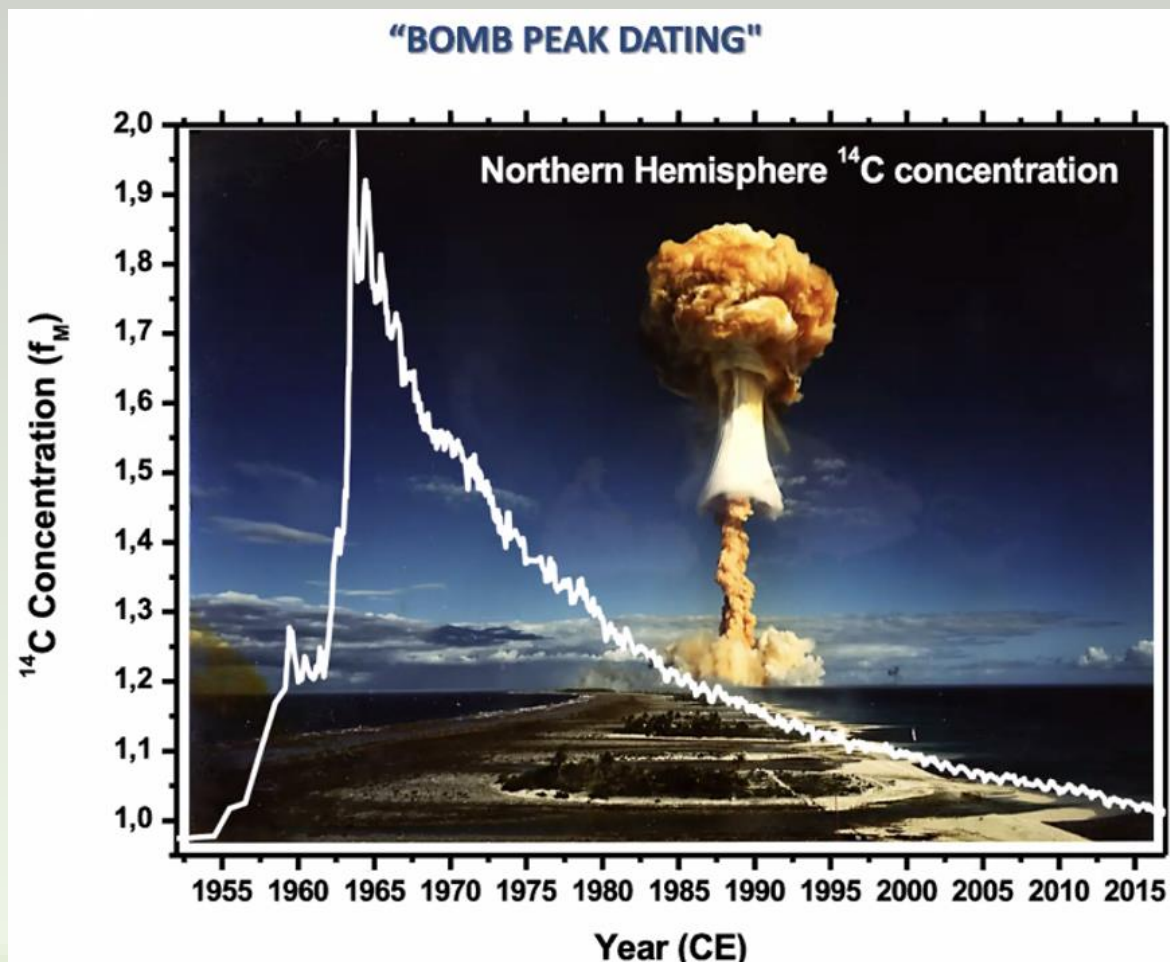
Lucile Beck-2023



The exhibition of 30 paintings in Genoa, Italy was shut down three days early on July 13th, 2017. After careful examination, experts confirmed that 20 of the 21 paintings seized by the prosecutors were forgeries.



Alberto Giacometti's *Walking Man*.



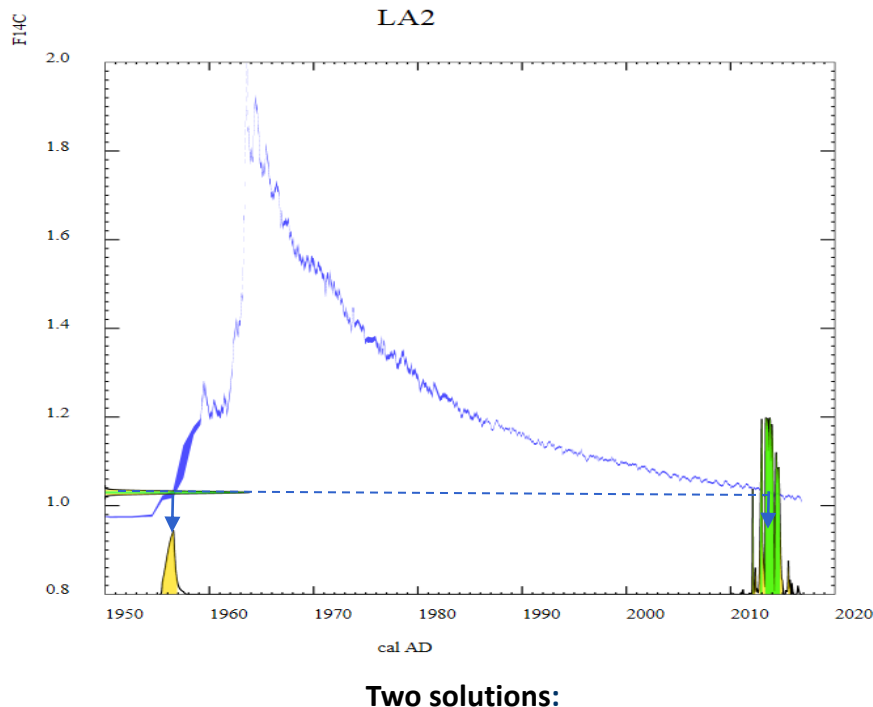
$^{14}\text{C}$  a longtemps été considéré comme :

- Trop invasive  
→ SMA
- Trop imprécise
- → Essais nucléaires et le "pic des bombes"

Atmospheric nuclear tests carried out in atmosphere after 1950 resulted in an increase of the  $^{14}\text{C}$  concentration by almost a factor 2 in the mid 1960s

# Bomb peak: “the nuclear option”

- $^{14}\text{C}$  value ( $\text{F}^{14}\text{C}$ ) :
  - $1.0301 \pm 0.0027$



- 😊 Résolution élevée
- 😊 Courbe bien documentée
- 😊 Logiciel de calibration disponible gratuitement et facile à utiliser
- 😢 2 solutions



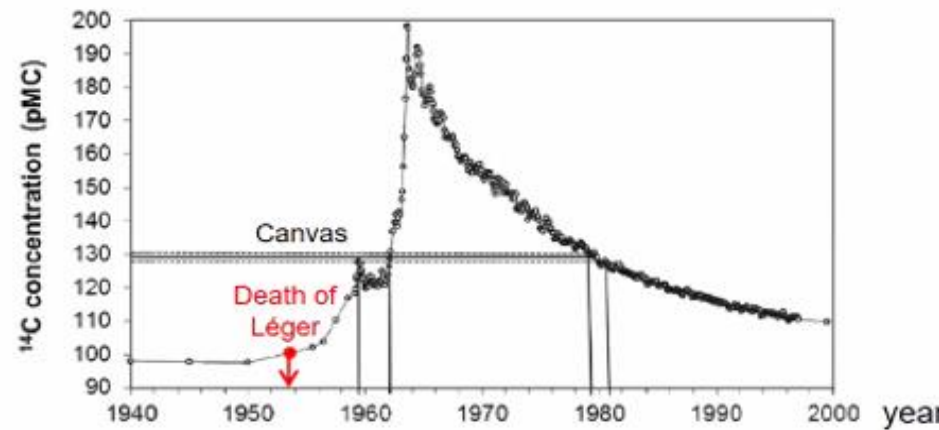
*Contraste de formes*, Fernand Léger (?)  
Peggy Guggenheim Collection, Venice



Detail of the canvas sample



*Contraste de formes*, Fernand Léger (1881-1955), 1913,  
Solomon G. Guggenheim Foundation, New York

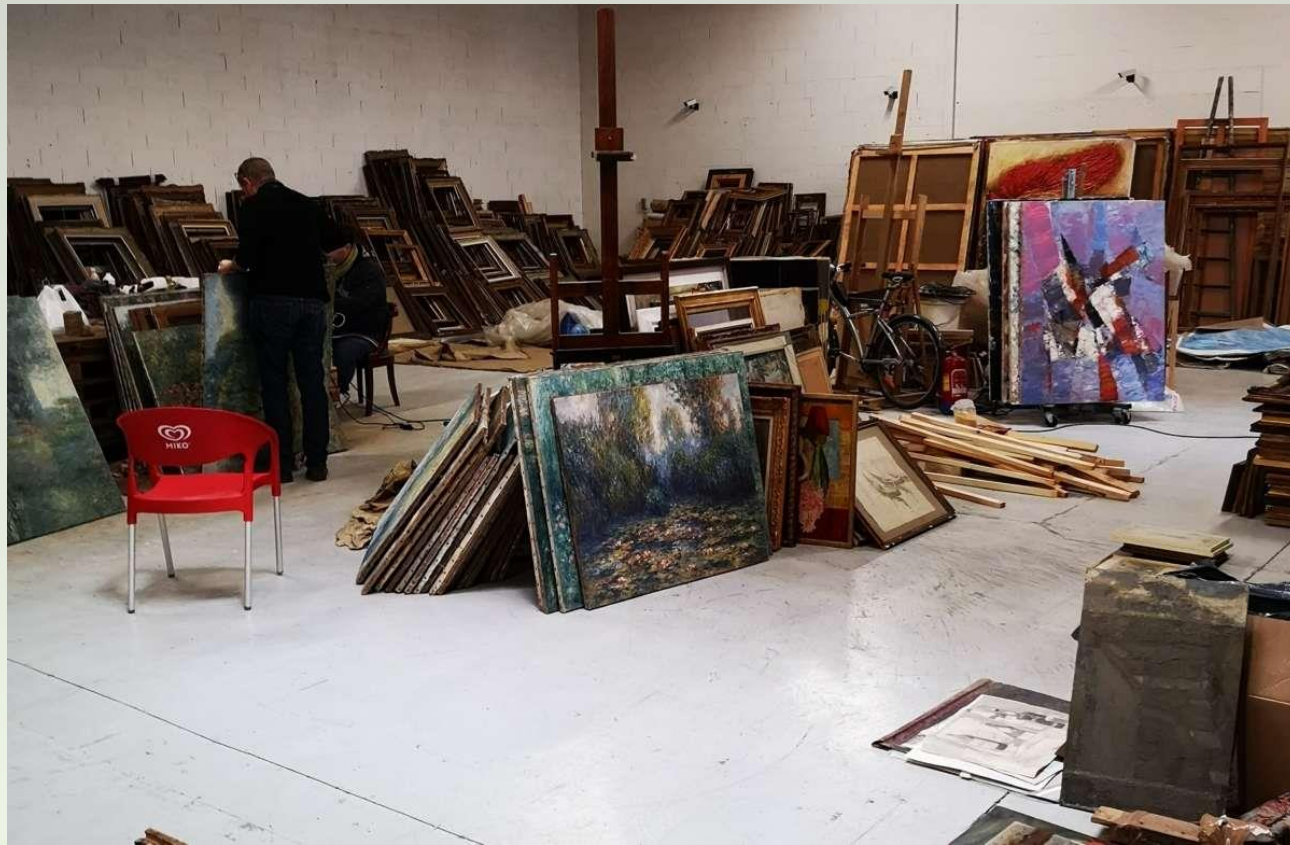


L. Caforio et al., Discovering forgeries of modern art by the <sup>14</sup>C bomb peak, *Eur. Phys. J. Plus* **129**:6 (2014)



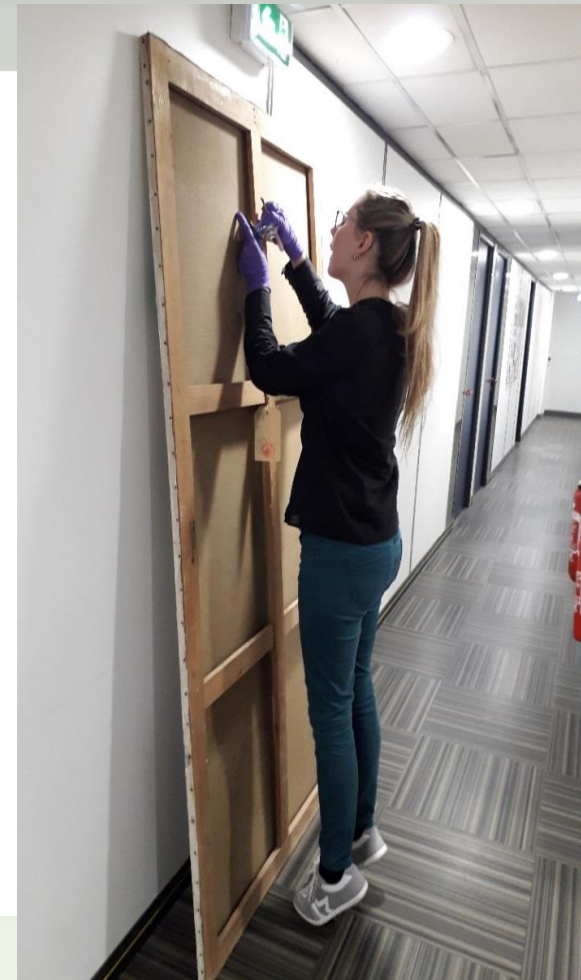
## Radiocarbon dating of seized paintings

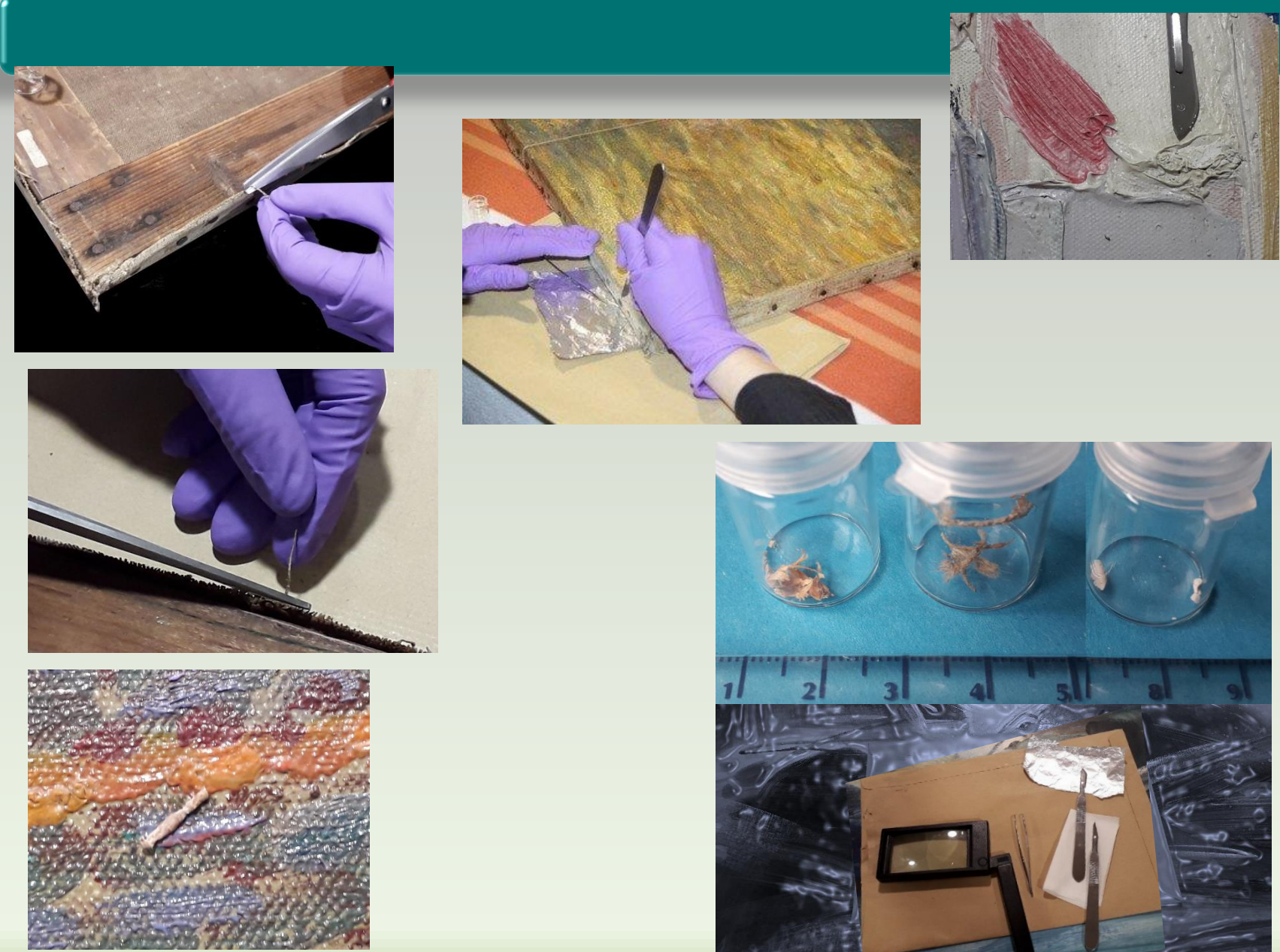
- Hundreds of paintings were discovered in a restorer's workshop by the French *Central Office for the Fight against Illicit Trafficking in Cultural Property (OCBC)*
- From Impressionist period to contemporary art



## Challenges working in the context of a police investigation

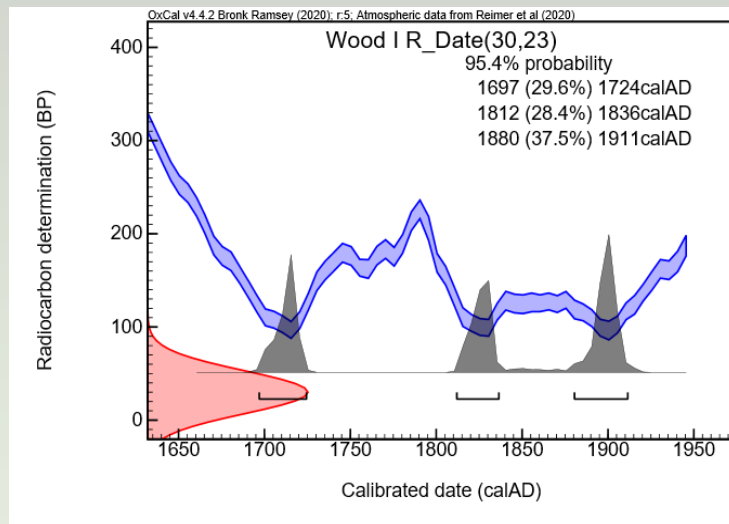
- No documentation
- No previous studies
- Confidentiality
- Time and sampling limitations:
  - only one campaign for sampling and short deadline for reporting
- No guarantee of results





Lucile Beck-2023

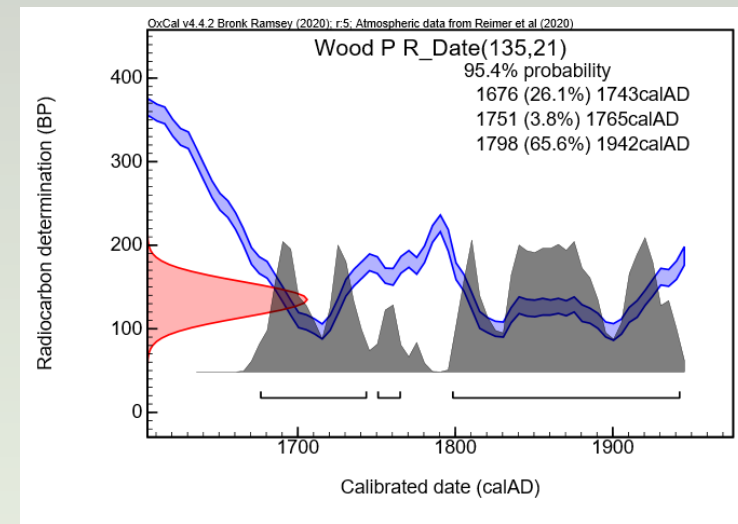
## Impressionist



1697 – 1724  
1812-1836  
1880- 1911

→ < 1947

## Post-impressionist

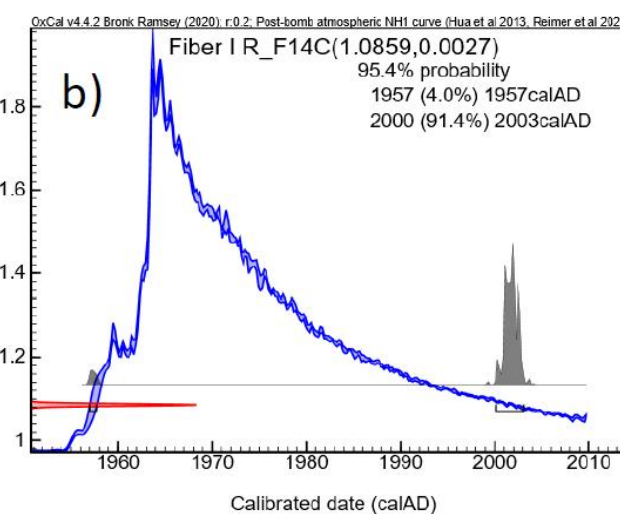
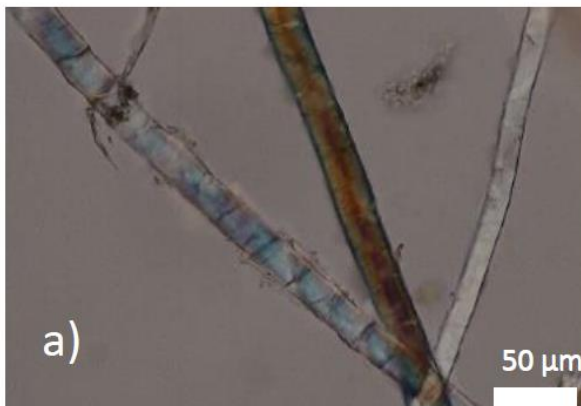


1676 – 1743  
1751-1765  
1798- 1942

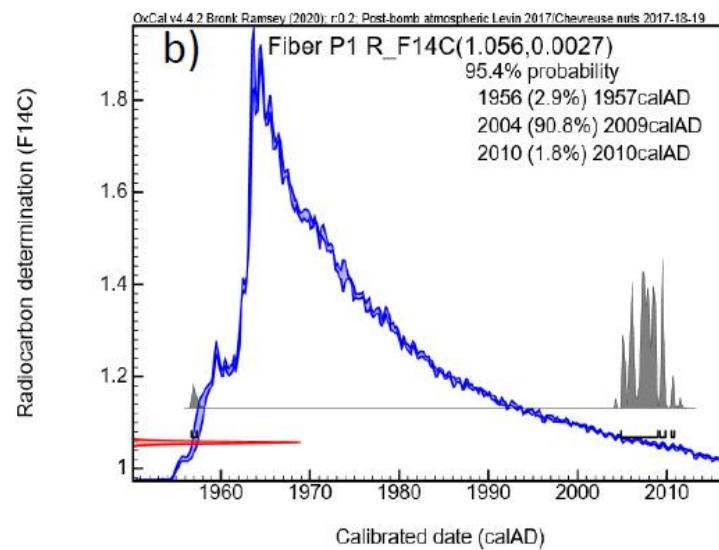
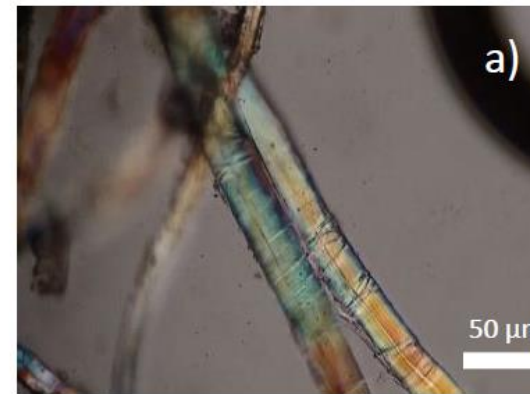
→ < 1943



## Impressioniste

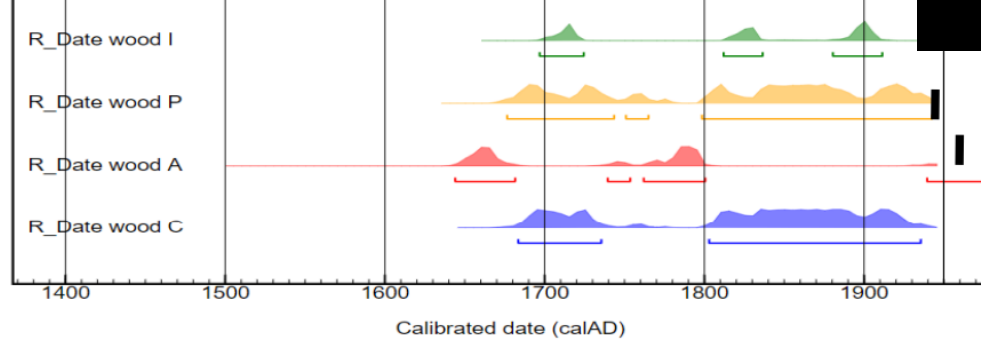


## Post-impressioniste



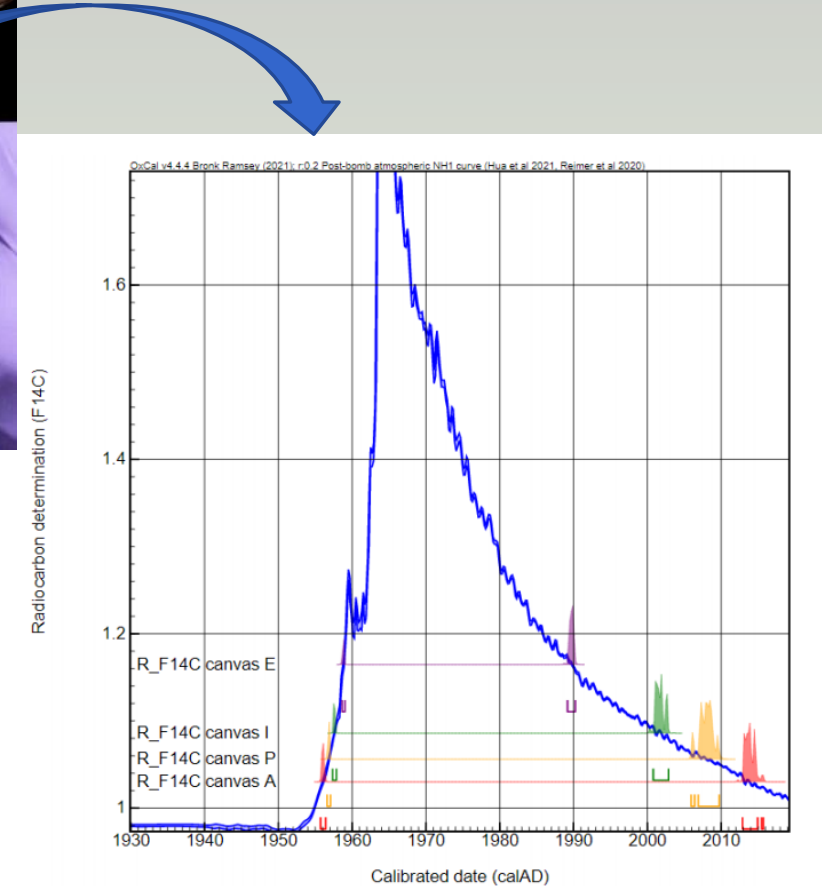
- 1) Identification des fibres
- “Bast fibers” → lin
- 2) Les plantes qui ont servi à faire les fibres de textiles ont été récoltées :
  - en 1957 ou entre 2000 et 2003 pour la peinture impressioniste (l'artiste suppose est mort en 1947)
  - en 1956-1957 ou entre 2004 et 2010 pour la peinture post-impressioniste (l'artiste suppose est mort en 1943)

OxCal v4.4.4 Bronk Ramsey (2021); r5 Atmospheric data from Reimer et al (2020)



Dates avant 1950 → Anciens bois ou châssis  
sélectionnés par les faussaires

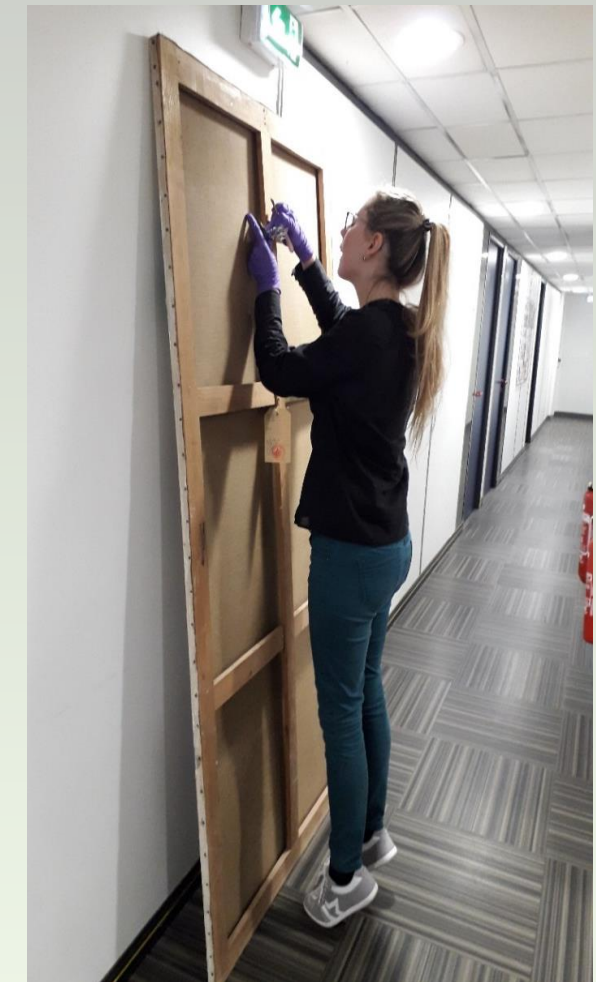
Beck, Physics 4, (2022) 462–472



Toiles après 1955 → peinture après 1955

## Défis du travail dans un contexte d'enquête policière

- ✓ Pas de documentation, pas de dossiers d'oeuvre, pas d'étude préalable
- ✓ Confidentialité
- ✓ Pas de garantie de résultats
- ✓ Temps compté et échantillonnage limité
- ✓ Une seule campagne et délai très court pour rendre les résultats
  - ✓ First contact: 6<sup>th</sup> of February
  - ✓ Sending quotation to the judge: 22<sup>d</sup> of February
  - ✓ Approval of the judge received the 27<sup>th</sup> of April asking the results to be obtained before the 15<sup>th</sup> of June!
  - ✓ Samples taken the 16<sup>th</sup> of May at OCBC premises
  - ✓ Sample preparation, 14C measurements, data analysis, reporting
  - ✓ Report delivered the 18<sup>th</sup> of June!



# But successful story finally and non-ambiguous results!



Forensic Science International 333 (2022) 111214

Contents lists available at [ScienceDirect](#)



Forensic Science International

journal homepage: [www.elsevier.com/locate/forsciint](http://www.elsevier.com/locate/forsciint)



Detecting recent forgeries of Impressionist and Pointillist paintings with high-precision radiocarbon dating

Lucile Beck<sup>a,\*</sup>, Ingrid Caffy<sup>a</sup>, Solène Mussard<sup>a</sup>, Emmanuelle Delqué-Količ<sup>a</sup>, Christophe Moreau<sup>a</sup>, Marc Sieudat<sup>a</sup>, Jean-Pascal Dumoulin<sup>a</sup>, Marion Perron<sup>a</sup>, Bruno Thellier<sup>a</sup>, Stéphane Hain<sup>a</sup>, Eddy Foy<sup>b</sup>, Christophe Moulherat<sup>c</sup>, OCBC<sup>d</sup>



Special issue IAEA CRP Nuclear Technologies for Foren



Article

**Ion Beam Analysis and  $^{14}\text{C}$  Accelerator Mass Spectroscopy Identify Ancient and Recent Art Forgeries** <sup>§</sup>

Lucile Beck

Physics 2022, 4, 462–472. <https://doi.org/10.3390/physics4020031>



SCIENCES • ARTS

## Quand les essais nucléaires trahissent les faussaires

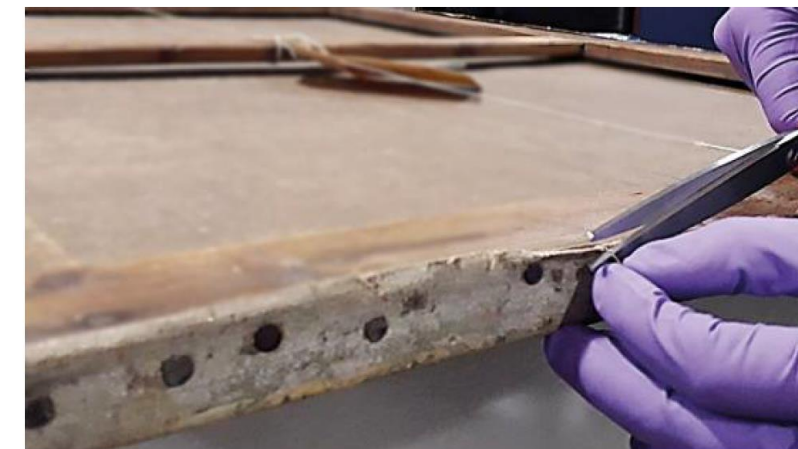
Le Laboratoire de mesure du carbone 14 a pu montrer, grâce au « pic des bombes » dans les années 1960, que des toiles saisies par l'Office central de lutte contre le trafic de biens culturels avaient été peintes après la mort de leurs auteurs présumés.

Par Pierre Barthélémy



**Truth-Revealing Atoms**  
Accelerator-based analytical techniques detect art forgeries

Joanne Liou



Forged artwork could pollute humanity's understanding of history, researchers say.

## RADIOCARBON DATING HELPS POLICE IDENTIFY FORGED PAINTINGS

Advances in the technique have bolstered its reputation as a tool for investigating faked artwork.

By Carolyn Wilke

Radiocarbon dating has unmasked two forged paintings in France – probably the first time the technique has been used in a police investigation. The paintings were supposedly impressionist and pointillist works from around the early twentieth century. But a team led by heritage scientist Lucile Beck at the University of Paris-Saclay used radiocarbon levels in the fibres of their canvases to date them to sometime within the past 70 years. The researchers concluded that the paintings are modern forgeries in a 4 February report – and therefore valuable – they don't want the collection of larger samples to damage it, says art historian Anna Tummers at Leiden University in the Netherlands, who was not part of the new research.

The technique's success might persuade more of the art world to seek radiocarbon dates, which can more definitively pinpoint when a painting was made, Tummers says. Researchers typically use imaging and chemical analysis to sniff out art forgeries. These methods can peer beneath brushstrokes to see how a painting's materials have aged, but they cannot conclusively nail down a painting's date.

Nature 603 |  
17 March 2022





Acquisition in 1909 by the director general Wilhelm Bode for the Berlin Royal museums as the **unique known sculpture of Leonardo da Vinci**

Two years after the acquisition, more than 730 articles were published in the German and English press as well as in France, Italy, Austria and Denmark.

Research (1/4, December 2020)

[Imprint](#) | [Privacy](#)



**In der Art des Leonardo da Vinci**  
Anchiano 1452–1519 Amboise  
**Flora**  
16. oder 19. Jahrhundert, Wachs

Die berühmte Wachsbüste der *Flora* hatte Wilhelm Bode 1909 in der festen Überzeugung erworben, dass es sich um ein Werk Leonardo da Vincis, oder aus dessen Umfeld handelt. Von anderen als Arbeit des 19. Jahrhunderts erkannt, geriet sie über 100 Jahre ins Kreuzfeuer. Bode ließ sogar eine Öffnung in die Rückseite schneiden, um die Echtheit zu beweisen. Fachleute streiten bis heute um die Zuschreibung der *Flora*. Wird das Geheimnis je gelüftet?

Erworben 1909  
Acquired in 1909  
SMB-SBM, Inv. Nr. 5951  
Erforscht mit Unterstützung der Ernst von Siemens Kunststiftung.  
Researched with the support of the Ernst von Siemens Kunststiftung.

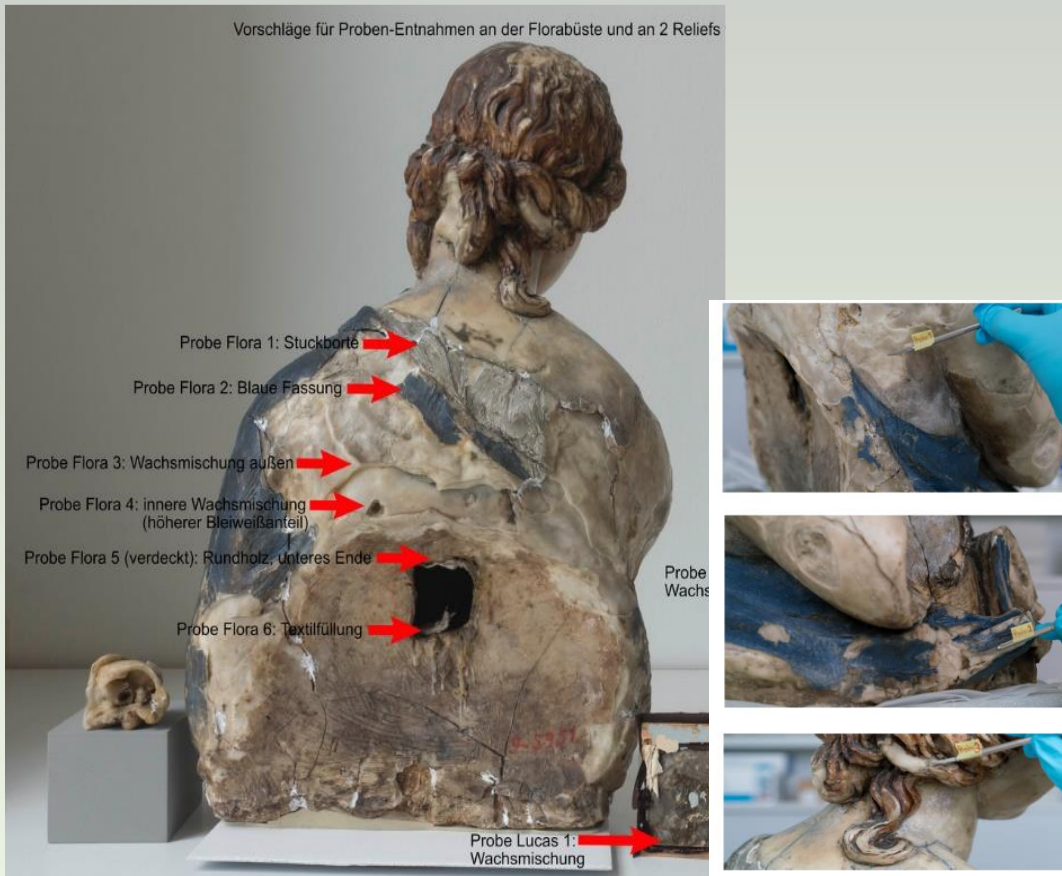
**In the Style of Leonardo da Vinci**  
Anchiano 1452–1519 Amboise  
**Flora**

16<sup>th</sup> or 19<sup>th</sup> century, wax

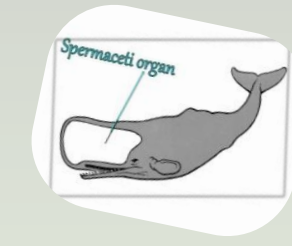
Wilhelm Bode acquired the famous wax bust of *Flora* in 1909 with the firm conviction that it was a work of Leonardo da Vinci or his circle. Recognised by others as a 19<sup>th</sup>-century work, it came under heavy criticism for over 100 years. Bode even had an opening cut into the back side to prove its authenticity. Experts argue to this day over the attribution of the *Flora*. Will the secret ever be revealed?



Study conducted by I. Reiche (Rathgen Forschungslabor & C2RMF, PSL)



- 7 wax samples (unusual material coming from sperm whale, called spermaceti/blanc de baleine)



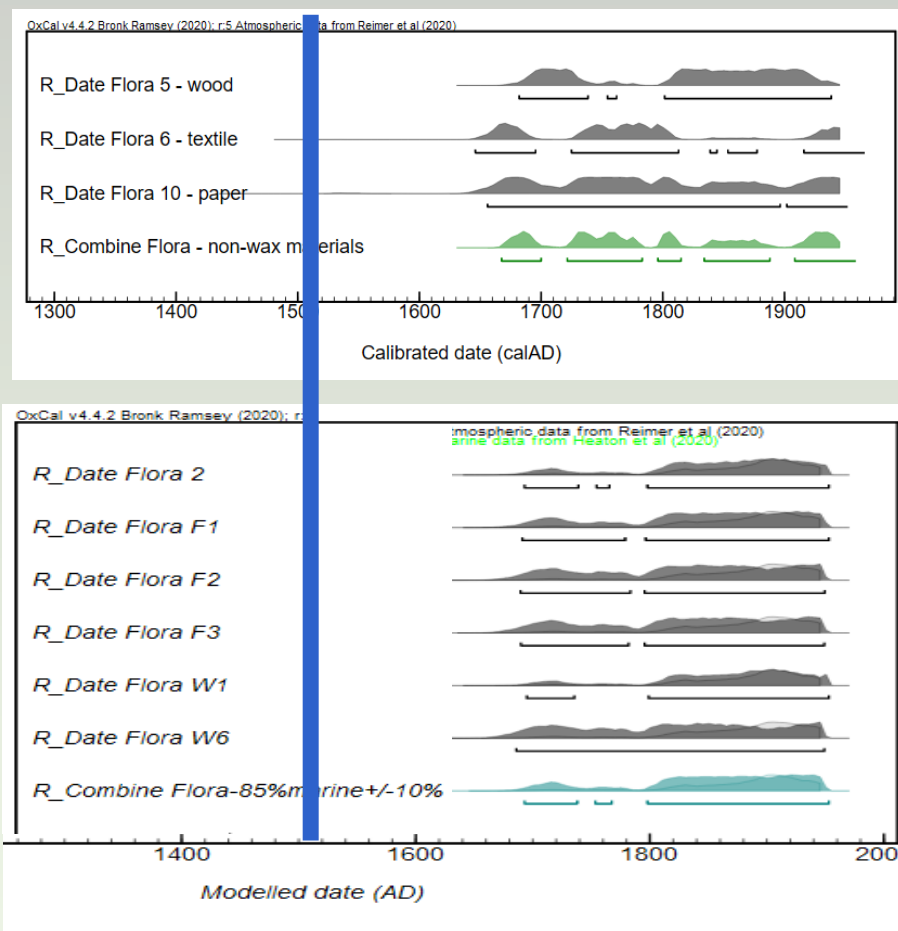
used for candles, cosmetics, pharmacy from 1750



- 3 other samples: wood, paper and textile

Terrestrial samples  
Wood, paper,  
textile  
After 1670

Wax samples  
(Spermaceti  
+ beeswax)  
After 1707



**scientific reports**

OPEN New results with regard to the Flora bust controversy: radiocarbon dating suggests nineteenth century origin

Ina Reichel<sup>1,2\*</sup>, Lucile Beck<sup>3</sup> & Ingrid Caffy<sup>3</sup>

Radiocarbon, Vol 00, Nr 00, 2022, p 1–10

Selected Papers from the 3rd Radiocarbon in the Environment Conference, Gliwice, Poland, 5–9 July 2021.  
© The Author(s), 2022. Published by Cambridge University Press for the Arizona Board of Regents on behalf of the University of Arizona

**MARINE RESERVOIR EFFECT OF SPERMACETI, A WAX OBTAINED FROM THE HEAD OF THE SPERM WHALE: A FIRST ESTIMATION FROM MUSEUM SPECIMENS**

Lucile Beck\*<sup>1</sup> • Ingrid Caffy • Emmanuelle Delqué-Kolić • Jean-Pascal Dumoulin<sup>1</sup> • Stéphane Hain • Christophe Moreau<sup>1</sup> • Marion Perron • Marc Sieudat • Bruno Thellier • Charlotte Van Hove





Museums & institutions   Research   Exhibitions   Education and outreach   Events



## From Fake Flora to a Gold Robbery: A Virtual Tour through the History of the Bode-Museum

13.04.2021

[Bode-Museum](#)

**ART HISTORY NEWS**  
Research. Exhibitions. Auctions. Discoveries. Opinions.

about    articles    contact & contribute  
edited by Bendor Grosvenor  
and Adam Busiakiewicz

**Bode Museum Finally Describes their 'Leonardo' as 'Manner of'**

April 20 2021





Posted by Adam Busiakiewicz:

The Bode Museum in Berlin have finally come round to re-cataloguing a dubious sculpture in their collection as 'In the manner of Leonardo Da Vinci'.

The above sculpture of Flora was purchased as a Leonardo in full in 1909 by the then director of Prussian art collections, Wilhelm von Bode. However, recent analysis by the French National Centre for Scientific Research (CNRS) has concluded that the piece must be a nineteenth century imitation. Scientific analysis has shown that the majority of the sculpture is made from spermaceti wax, a type of wax harvested for candles during the nineteenth century. Strong comparisons have been made with several works by the sculptor Richard Cockle Lucas (1800-1883), who has been suggested as the likely creator of the piece.

**Update** - A reader has kindly alerted me to the fact the sculpture is included within a new exhibition on the museum's history entitled *Klarertext* (Plain Talk). A free virtual tour of the exhibition, plus audio guides, can be accessed [here](#).

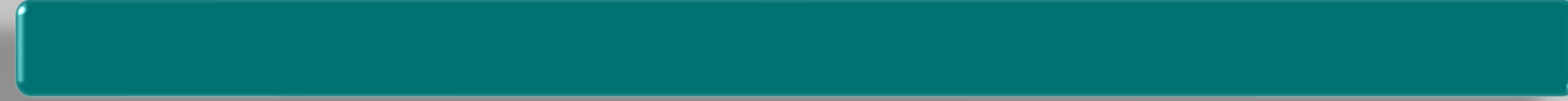




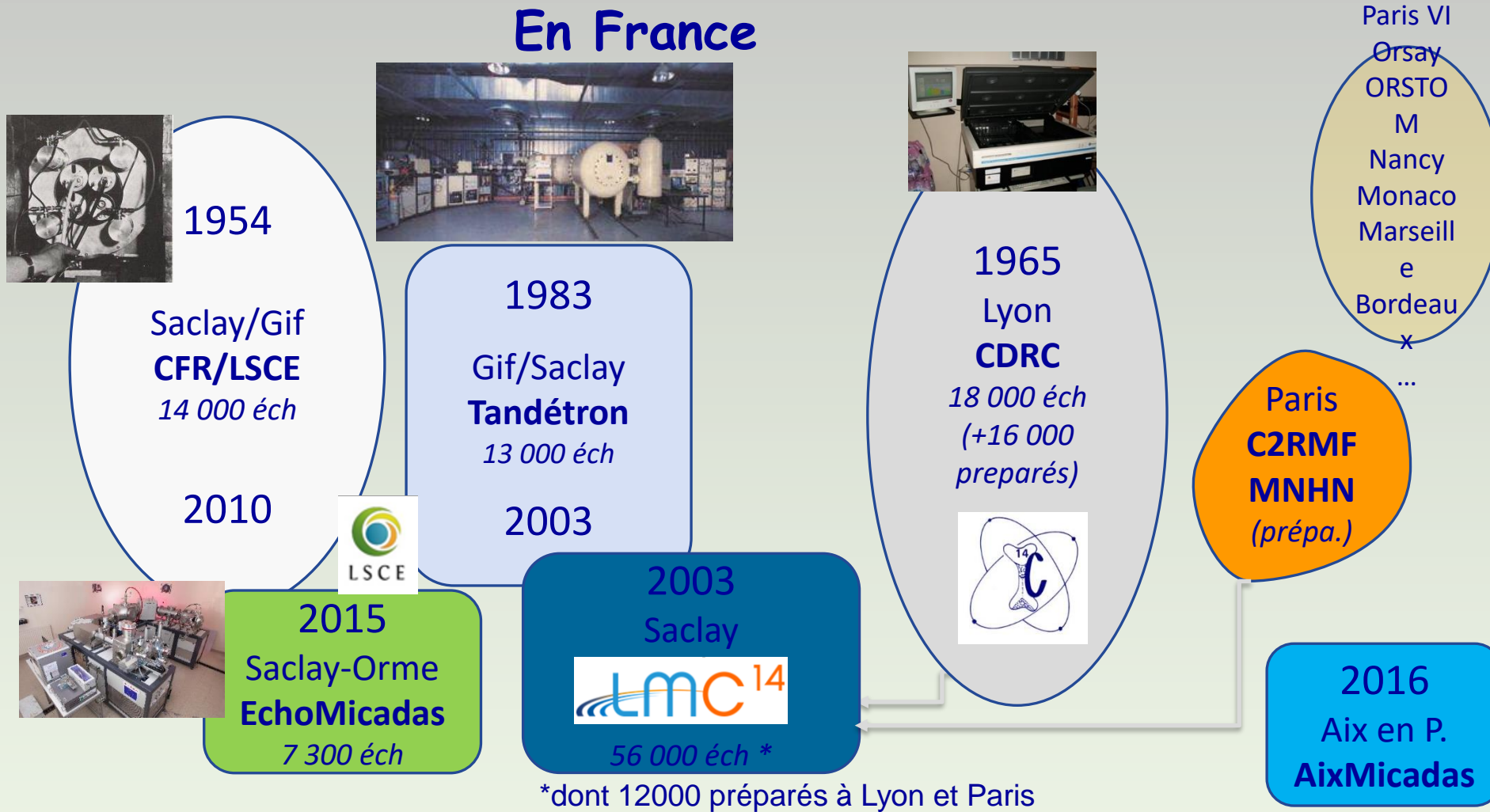
The screenshot shows the homepage of the LMC14 website (<http://lmc14.lsce.ipsl.fr/>). The main title is "Laboratoire de Mesure du Carbone 14". The navigation menu includes "Accueil", "Carbone 14", "Echantillons", "Spectromètre", "Le laboratoire", and "Utilisateurs".

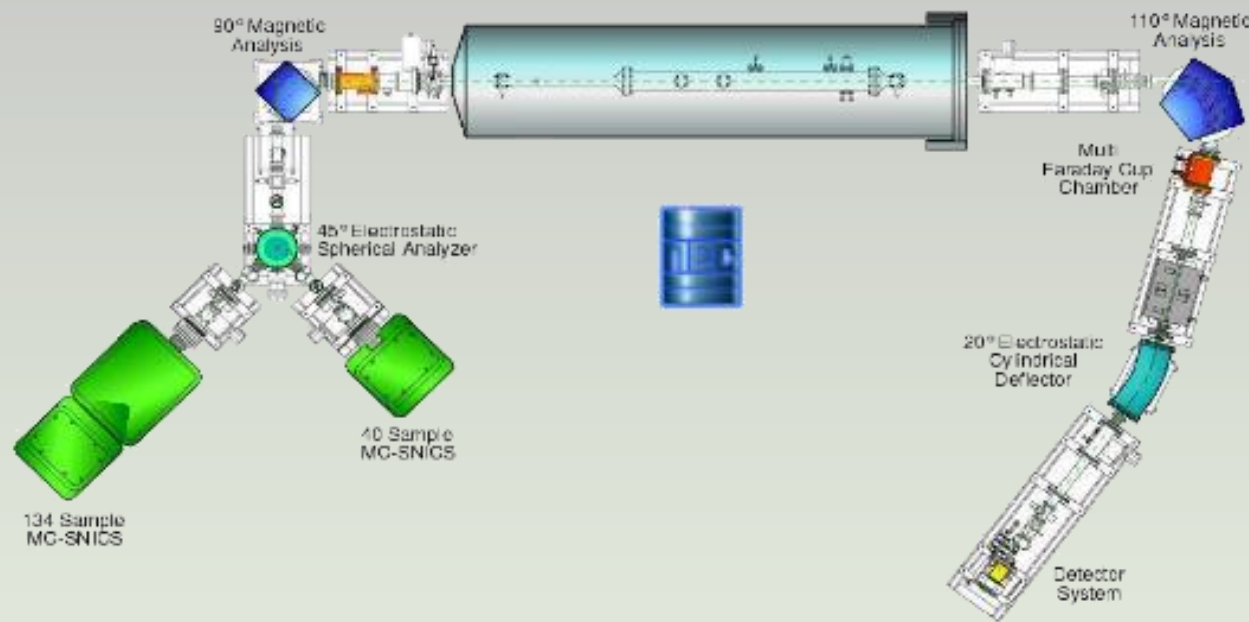
<http://lmc14.lsce.ipsl.fr/index.html>

Le Laboratoire de Mesure du Carbone 14 (LMC14) réalise les mesures de carbone 14 pour la communauté scientifique nationale. Créé en 2003 en tant qu'unité mixte de service, la Plateforme Nationale LMC14 est rattachée au LSCE depuis 2015.



## En France

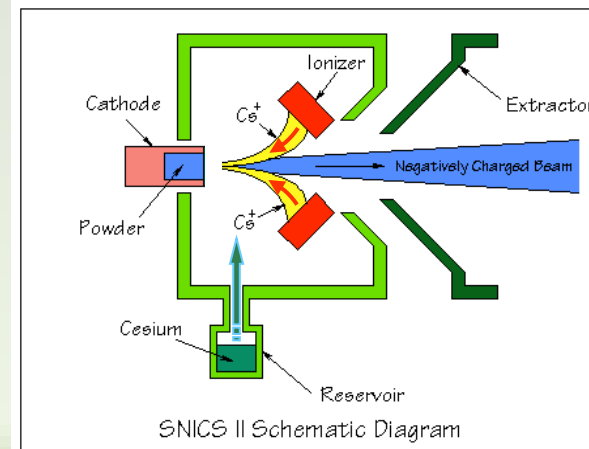
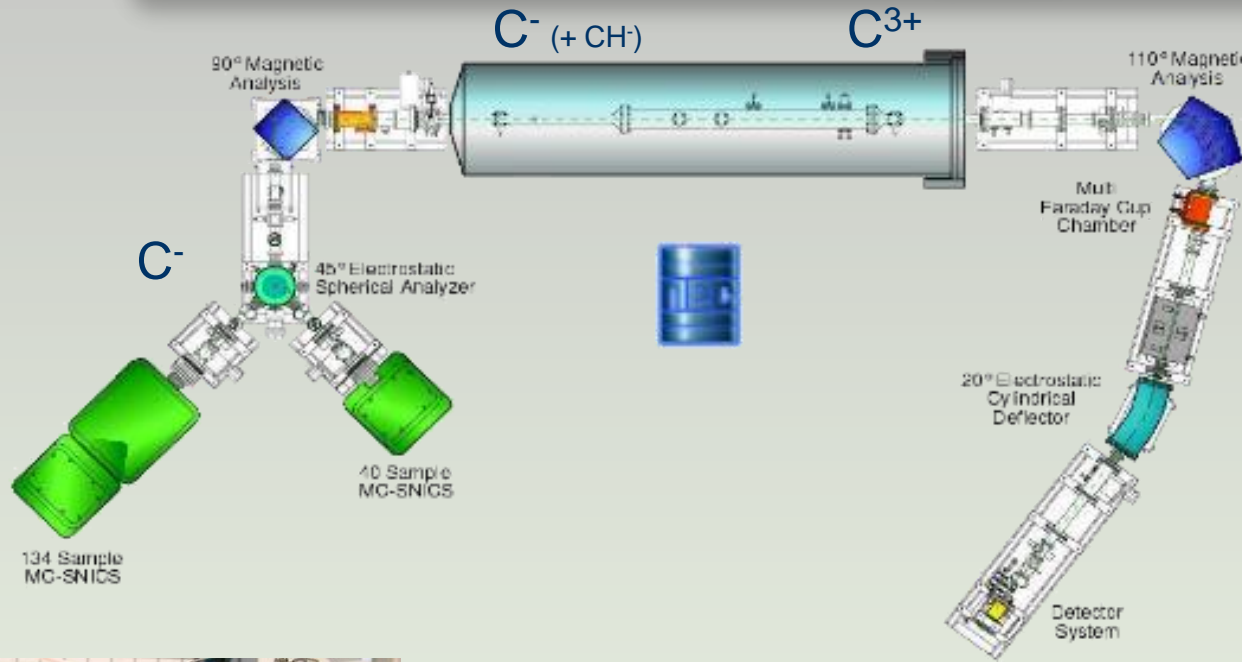
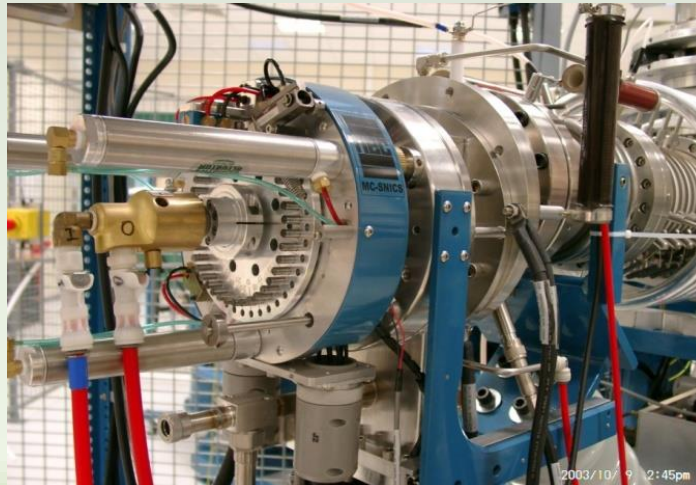




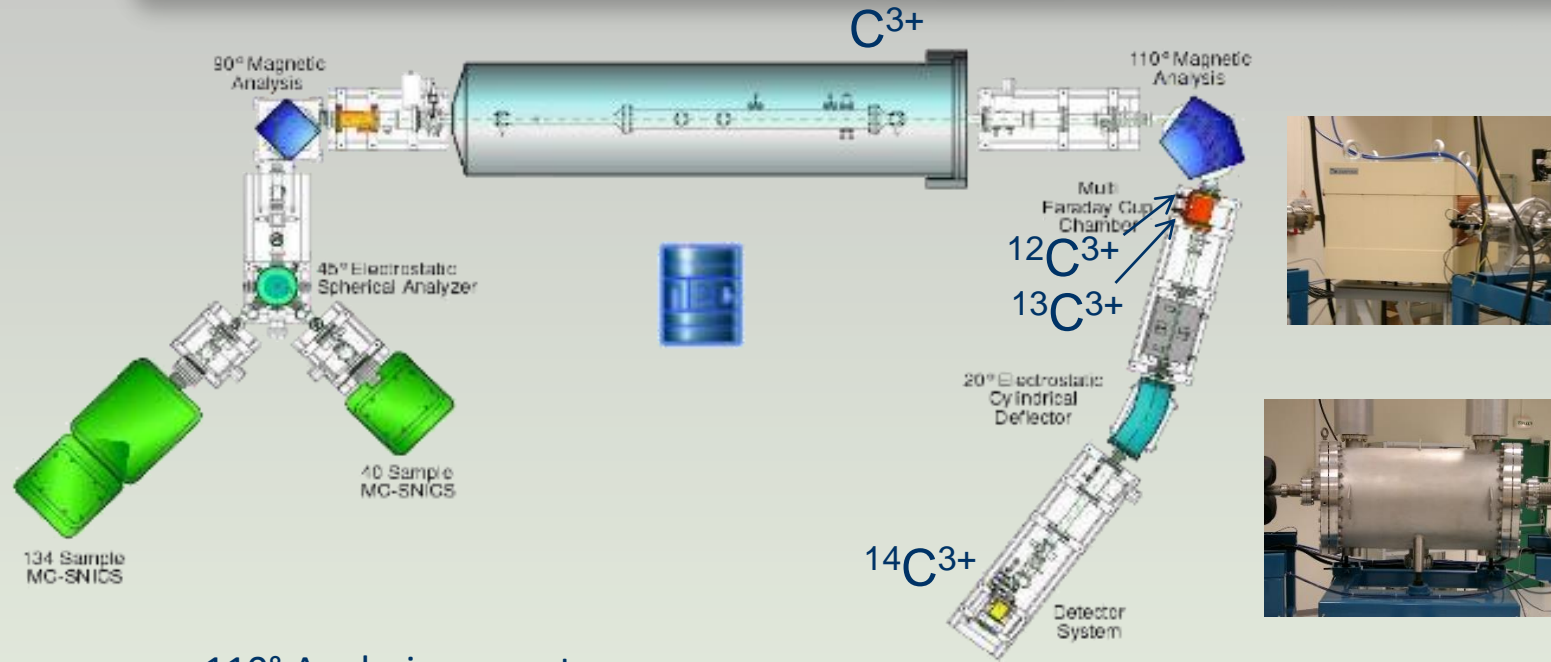
- Commandé en 2001
- 1ère mesure en 2003
- 1 ingénieur, 2 techniciens

#### Tandem accelerator

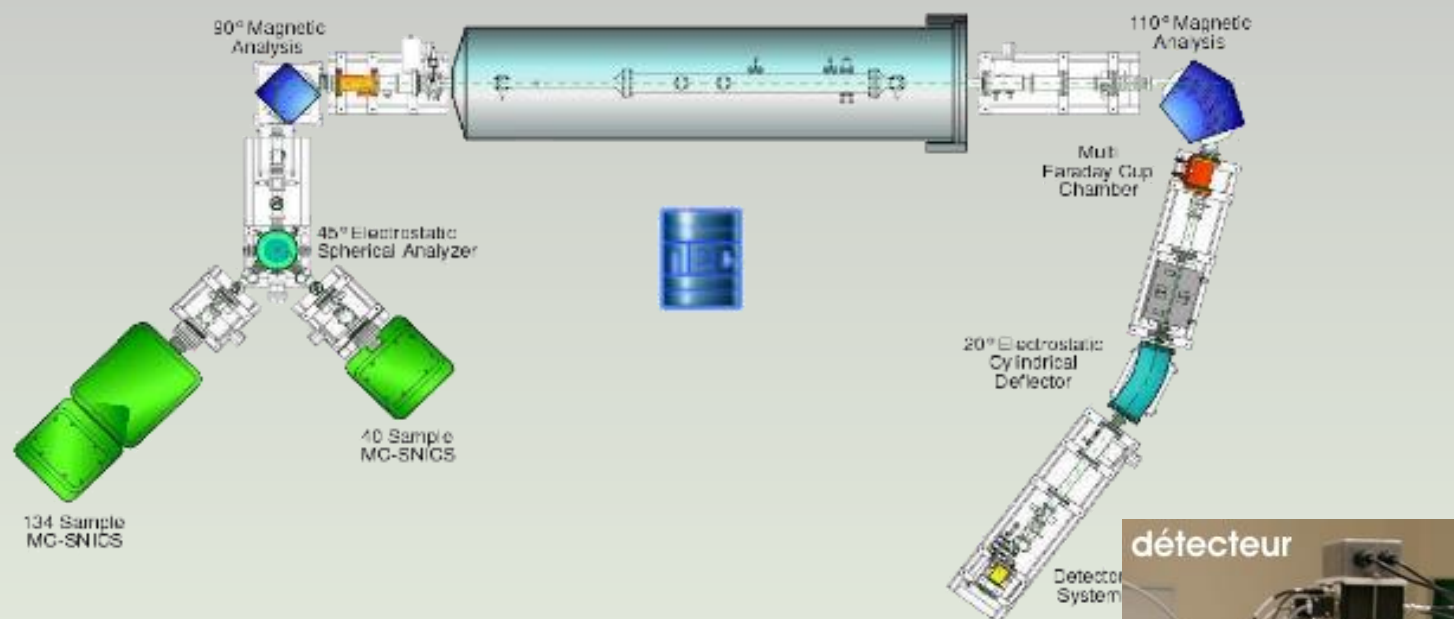
- 3 MV Pelletron tandem (NEC type 9SDH-2)
- Terminal voltage operation : 2.6 MV
- Ar gas stripper (molecules break & charge exchange)
- Final charge states : from 1+ to 4+



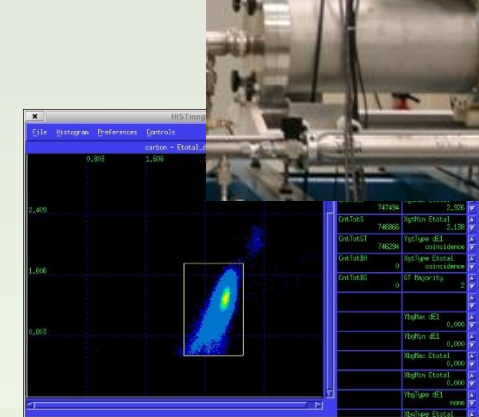
- Two MC-SNICS Cesium sputter ion sources of 40 and 134 samples
- Automated sample changer for high rate measurement
- 18 kV power supply to extract negative ions from the source coupled with a 45 kV power supply to accelerate the negative ions up to 63 keV in order to enter in the accelerator.

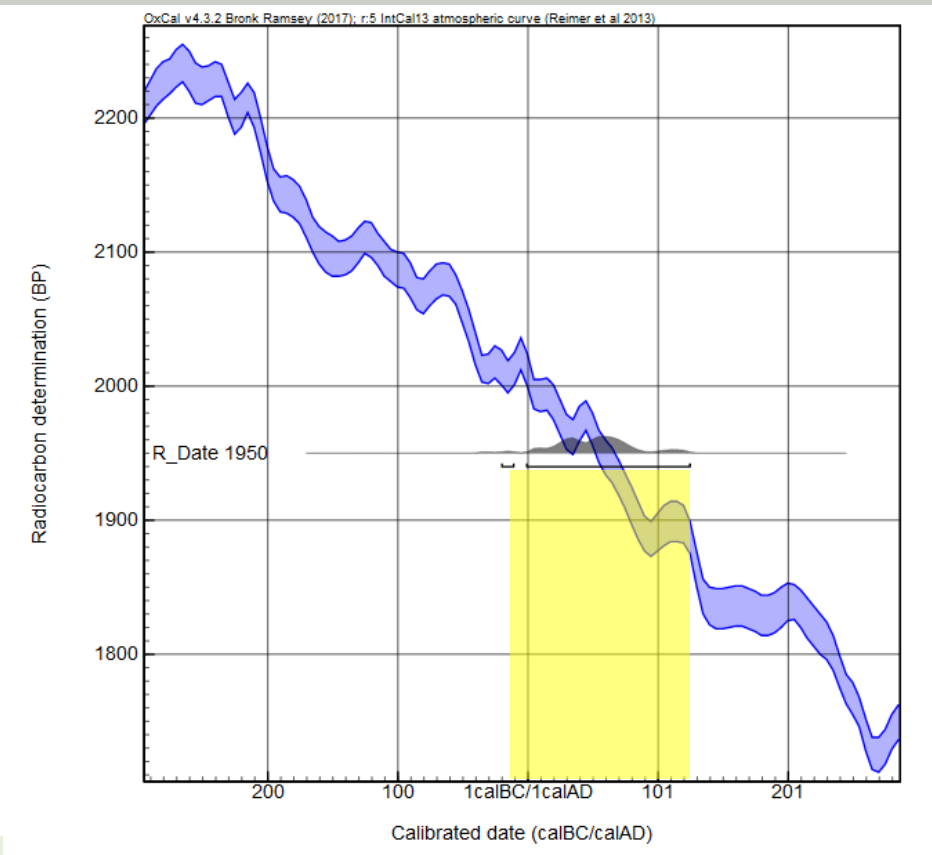


- $110^\circ$  Analysis magnet :
  - Selection in mass, charge (3+) and Energy
  - Off line Multi Faraday cup to measure  $^{12}C^{3+}$  and  $^{13}C^{3+}$
  - electrostatic quadrupole analyser ECA (focusing)
- $20^\circ$  Electrostatic Cylindrical Analyser :
  - Selection in Energy and charge

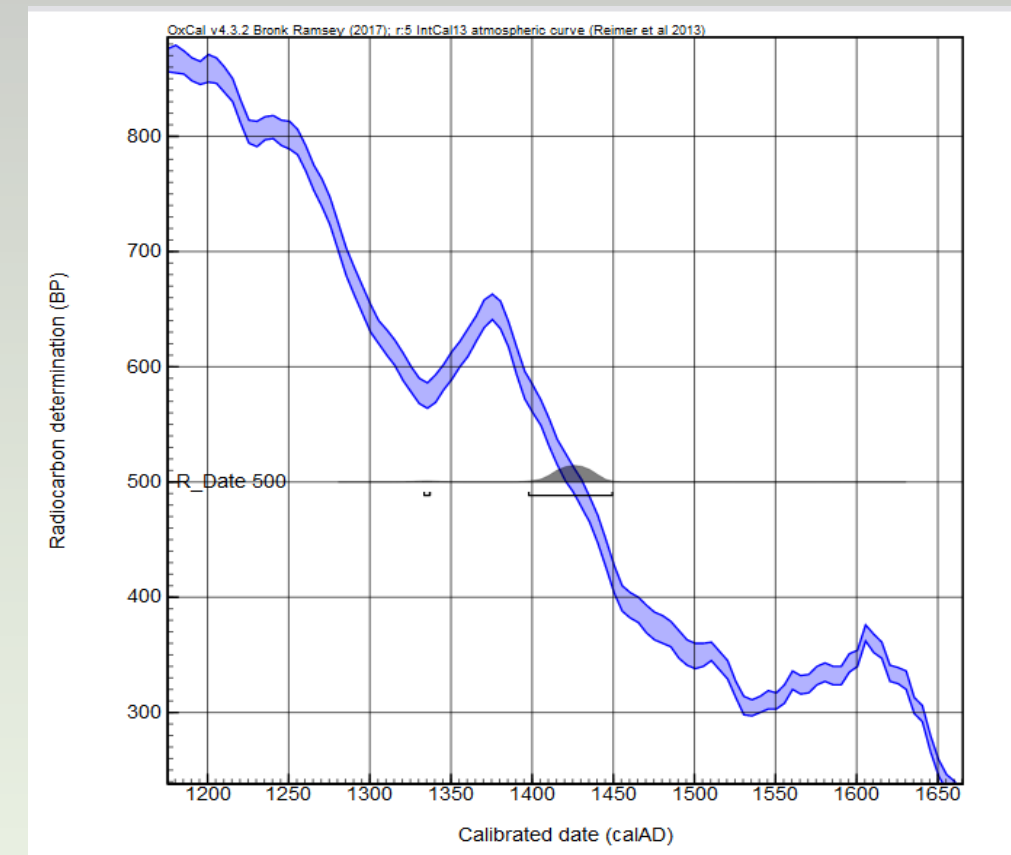


- Ionization chamber filled with Ar (90%) CH<sub>4</sub> (10%) mixture.
  - Detection of the <sup>14</sup>C<sup>3+</sup> ions





21 av. J.-C. -125 ap. J.-C.



1398 – 1449 ap. J.-C.

# Science

[Current Issue](#)   [First release papers](#)   [Archive](#)   [About](#) ▾   [Submit manuscript](#)[HOME](#) > [SCIENCE](#) > VOL. 196, NO. 4289 > RADIOISOTOPE DATING WITH A CYCLOTRON[ARTICLE](#)

## Radioisotope Dating with a Cyclotron: The sensitivity of radioisotope dating is improved by counting atoms rather than decays.

[REPORT](#)

### Radiocarbon Dating with Electrostatic Accelerators: Dating of Milligram Samples

BY C. L. BENNETT, R. P. BEUKENS, M. R. CLOVER, D. ELMORE, H. E. GOVE, L. KILIUS, A. E. LITHERLAND, K. H. PURSER • SCIENCE • VOL. 201, NO. 4353 • 28 JUL 1978 : 345-347

The recently developed direct counting technique for radiocarbon atoms has been used to measure the relative numbers of such atoms in various geological samples which had earlier been dated by the beta-ray counting method. Sample weights ranged ...

[REPORT](#)

### Radiocarbon Dating Using Electrostatic Accelerators: Negative Ions Provide the Key

BY C. L. BENNETT, R. P. BEUKENS, M. R. CLOVER, H. E. GOVE, R. B. LIEBERT, A. E. LITHERLAND, K. H. PURSER, W. E. SONDEHIM • SCIENCE • VOL. 198, NO. 4316 • 04 NOV 1977 : 508-510

Mass spectrometric methods have long been suggested as ways of measuring  $^{14}\text{C}/^{12}\text{C}$  ratios for carbon dating. One problem has been to distinguish between  $^{14}\text{N}$  and  $^{14}\text{C}$ . With negative ions and a tandem electrostatic accelerator, the  $^{14}\text{N}$  background is ...

